

Este exemplar corresponde à redação final  
da tese defendida pelo Sr Gerald Weber e  
aprovada pela Comissão Julgadora.

Campinas, 17 FEVEREIRO DE 1987

Caro Mestrado

"APLICAÇÃO DO MÉTODO MONTE CARLO AO ESTUDO DE CORRENTE INDUZIDA POR  
FEIXE ELETRÔNICO EM DISPOSITIVOS SEMICONDUTORES

GERALD WEBER

Orientador: Carlos Alberto Ribeiro

Trabalho apresentado ao Instituto de Física "Gleb Wataghin" da Universidade Estadual de Campinas, para a obtenção do grau de Mestre em Ciências

Fevereiro de 1987

UNICAMP  
BIBLIOTECA CENTRAL

Aos meus Pais, com muito carinho

## Agradecimentos

Ao Ribeiro pela orientação, e pela grande amizade,

Ao Celso pelas medidas experimentais e pela paciência de aturar um teórico no laboratório,

Ao Ricardo pelas discussões (às vezes infundáveis),

Ao Mário pela assistência computacional,

Ao Mássimo pelas discussões e pelos incentivos,

A Claudete e à Maura por tantos "é pra ontem" e outros pepinos,

A Dina, fiel guardiã dos livros e periódicos,

Aos meus Pais e à minha irmã pelo apoio irrestrito à minha escolha profissional,

A Maria José pelo carinho e apoio em horas de desânimo e dificuldades,

Ao Xandão, Roberto e Marcão e ao "Clubinhó" como um todo pela amizade,

Ao Peter por uma amizade que alguns abalos não tornaram menos profunda,

Aos colegas, funcionários e professores que não mencionei,

A FAPESP não somente pelo apoio financeiro, mas também pela ausência de burocratice e a forma como honra seus compromissos,

A Telebrás S/A pelo apoio financeiro e pelo uso das instalações o LPD,

Meus Agradecimentos

### Resumo

Simulamos a corrente induzida por feixe eletrônico para um diodo e um laser de heteroestrutura dupla pela técnica de simulação Monte Carlo. Obtemos pelo método Monte Carlo uma distribuição de energia característica com a qual calculamos a produção e difusão dos portadores minoritários e a sua coleção pela junção. Desta forma é possível estimar o comprimento de difusão nos dispositivos. A ferramenta produzida possibilita uma nova abordagem dos fenômenos característicos nos dispositivos semicondutores analisados por um microscópio eletrônico de varredura.

### **Abstract**

We simulate the electron beam induced current for a diode and a double heterostructure laser with a Monte Carlo simulation technique. We obtain by this simulation method a characteristic energy distribution by which we calculate minority carrier production, diffusion and collection at the junction. By this way it is possible to us to make an estimative for the carrier diffusion length in semiconductor devices analized by a scanning electron microscope.

## Índice

|         |   |
|---------|---|
| 1.....  | Introdução  |
| 3.....  | Capítulo 1 - Método Monte Carlo para a Microssonda Eletrônica                   |
| 13..... | Capítulo 2 - Perda de Energia em Função da Profundidade                         |
| 19..... | Capítulo 3 - Corrente Induzida por feixe eletrônico (EBIC)                      |
| 29..... | Capítulo 4 - Resultado da Simulação EBIC  |
| 41..... | Conclusão   |
| 43..... | Apêndice A - Equação de Perda de Energia  |
| 47..... | Apêndice B - Livre Caminho Médio  |
| 50..... | Apêndice C - Ângulo de Espalhamento   |
| 52..... | Apêndice D - Coordenadas do Elétron Simulado em Três Dimensões                  |
| 56..... | Apêndice E - Energias de Ionização Radiativas em Semicondutores de "gap" direto |
| 61..... | Apêndice F - Organização dos Programas  |
| 65..... | Apêndice G - Programas  |
| 97..... | Bibliografia  |

## ERRATA

pg 19 O ultimo parágrafo - onde se lê "banda de condução" leia-se "banda de valência" e vice versa.

pg 24 1º parágrafo - leia-se "condição de normalização" em vez de "condição de contorno".

pg 58 Acrescente-se à legenda da figura E1: "(Vide referência (1))".

pg 59 A expressão correta da equação (E.8) é:

$$mv = [2m_e + m_p]v$$

pg 60 A expressão correta da equação (E.11)

$$q = \frac{E_G}{\langle E \rangle}$$

da equação (E.17)

$$q = \frac{E_G}{E_G + \frac{3}{5} (E_{et} + E_{pt})} = \frac{5}{14}$$

e da equação (E.18)

$$\langle E \rangle = \frac{14}{5} E_G$$

"A idéia é que a realidade, seja a da Santa Sé, a de René Char ou a de Oppenheimer, é sempre uma realidade convencional, incompleta e parcelada. A admiração de alguns caras diante de um microscópio eletrônico não me parece mais fecunda do que a admiração das parteiras pelos milagres de Lourdes."

Julio Cortázar em "O Jogo da Amarelinha"

## Introdução

O uso dos métodos de Monte Carlo na resolução de problemas em Microscopia Eletrônica de varredura não constitui nenhuma novidade. Em alguns casos, principalmente na microanálise, tem mesmo se tornado um método padrão [1].

Mas a microscopia não parou na microanálise. Novos métodos de trabalho tem surgido, notadamente na área de semicondutores e dispositivos. Novas técnicas utilizando-se de efeitos típicos ou predominantes em semicondutores tornaram-se comuns e de larga aplicação.

Se o microscópio eletrônico já era por natureza um dos principais instrumentos na pesquisa de dispositivos optoeletrônicos e de circuitos integrados, as técnicas de corrente induzida por feixe eletrônico e a catodoluminescência simplesmente o tornaram indispensável.

As abordagens teóricas destes novos métodos até agora elaborados são todas de cunho analítico e apresentam muitas hipóteses e aproximações. Tais aproximações eram na sua maioria muito exageradas e tinham uma validade razoável apenas para amostras de silício homogêneo.

O nosso trabalho tem por objetivo lançar mão do método Monte Carlo e desenvolver alguns modelos analíticos, e em conjunto obter resultados práticos para dispositivos a serem estudados. O dispositivo mais complexo discutido é um lase de heteroestrutura dupla. A complexidade de sua estrutura e a diversidade dos materiais torna-o impossível de ser estudado por qualquer modelo analítico.

A meta final é desenvolver uma ferramenta potencialmente poderosa e inédita para a análise de muitas outras situações experimentais envolvendo os fenômenos acima citados.

## 1 - Método Monte Carlo para a Microssonda Eletrônica

O método Monte Carlo é essencialmente uma forma de simulação estatística para processos que não podem ser reunidos em um único modelo ou abordagem estatística.

Vamos supor que um determinado processo físico se decomponha em diversos subprocessos interdependentes. Cada um destes subprocessos é conhecido ou suposto e é caracterizado pela sua média estatística e a sua distribuição (frequência com que ocorre um dado valor ou característica). A simulação consiste em percorrer muitas vezes todos estes subprocessos com auxílio de números aleatórios. Tomamos o primeiro subprocesso, escolhemos de alguma forma um número aleatório e através da distribuição característica do subprocesso obtemos um determinado resultado particular. Passamos ao segundo subprocesso cujas condições podem depender do primeiro e procedemos da mesma forma para obter um determinado resultado particular, referente a um novo número aleatório. Continuamos assim até passar por todos os subprocessos. Ao final obtemos um determinado resultado particular que caracteriza o processo total. Este procedimento é repetido muitas vezes sempre para números aleatórios novos. Desta forma chegamos à média e à distribuição do processo.

A situação física que pretendemos estudar apresenta a característica de decompor o processo em vários subprocessos cuja física é bem conhecida. Entretanto não é possível juntar estes subprocessos em um único modelo coerente. A única saída viável neste caso é partir para o procedimento descrito acima.

A desvantagem inherente a este tipo de procedimento é o problema da escolha do modelo em geral ad hoc. Torna-se importante testes que indiquem a coerência dos resultados para situações bem conhecidas. Outra desvantagem é que a convergência estatística para uma simulação Monte Carlo, isto é, o número de vezes que o procedimento precisa ser repetido para que se convirja para determinado resultado, é uma das piores que se tem notícia. Quando quadruplicando, por exemplo, o número de procedimentos apenas dobra a precisão.

Vamos situar o nosso problema físico. Um feixe de elétrons incide sobre um material com energia fixa entre 5 a 45 KeV. O nosso interesse consiste em saber como estes elétrons depositam a sua energia no interior da amostra em termos quantitativos.

Observamos inicialmente que os elétron têm energia suficientemente grande para não termos que nos preocupar com o arranjo espacial do sólido, tendo que levar em conta apenas a densidade específica deste.

Teremos assim espalhamentos elásticos e inelásticos dos elétrons se sucedendo de uma forma não previsível (isto é, aleatória) em um meio que consideraremos como sendo homogêneo.

A teoria da perda de energia ao longo do caminho do elétron tal como deduzido por Bethe [1] vem a calhar nesta situação. Nesta teoria a perda de energia se dá continuamente ao longo da trajetória (vide apêndice A), contabilizando os espalhamentos inelásticos.

Vamos seguir a trajetória de um elétron simulado pelo modelo, que apresentaremos com maior detalhe mais adiante, tal como mostrado na figura 1. Em nenhum instante afirmamos ser este o comportamento real

do elétron, buscamos apenas reunir aspectos próximos ao comportamento médio dos elétrons.

O nosso elétron incide perpendicularmente sobre a superfície, com uma dada energia fixa. Neste ponto dizemos que ele sofre o seu primeiro espalhamento por um ângulo  $\theta$ . Deste ponto em diante seguirá em linha reta por um caminho com  $\lambda$  de comprimento, ao fim do qual calculamos a sua nova energia  $E(1)$ . O ângulo de espalhamento  $\theta$  e o livre caminho percorrido  $\lambda$  não são quantidades que podemos determinar a priori mas terão que provir de números aleatórios em associação a medidas estatísticas conhecidas. A partir de  $\lambda$  calculamos a energia restante  $E(1)$ .

Há um aspecto pragmático a ser considerado na simulação, no sentido de que o espalhamento não pode seguir infindavelmente, e é preciso escolher uma energia limite a partir da qual pararemos a simulação. O critério de parada através desta energia limite em geral obedece a considerações do modelo (que a partir de um certa energia cessa de ser válido) ou do sinal que se pretende obter pela simulação (abaixo de uma certa energia pode não haver produção deste sinal).

Uma segunda situação que pode ocorrer é que a simulação leve o elétron para fora da amostra. Dissemos neste caso que o elétron foi retroespelhado.

Definidos os critérios de parada, aplicamos os testes ao elétron ora com energia  $E(1)$ . Se prosseguirmos com a simulação, tomamos um novo ângulo de espalhamento (sempre referente a direção do movimento) e um novo livre caminho percorrido, ao fim do qual calculamos uma nova energia  $E(2)$  e assim por diante.

Para os elétrons seguintes procedemos sempre da mesma forma, sendo todo o processo governado pelos números aleatórios.

Para a perda de energia usamos a conhecida equação de Bethe cuja dedução simplificada pode ser encontrada no apêndice A. Aqui nós a usaremos sob a forma

$$\frac{dE}{ds} = -7.85 \times 10^4 (\rho Z/AE) \ln(1.116E/J), \text{ (keV/cm)} \quad (1)$$

onde E é a energia do elétron, Z é o número atômico, A a massa atômica,  $\rho$  a densidade específica ( $\text{g/cm}^3$ ) e J o potencial médio de ionização.

Para materiais contendo vários elementos (e suficientemente homogêneos) podemos usar, segundo Heinrich [1]

$$\frac{dE}{ds} = -7.85 \times 10^4 (\rho/E) \sum m_i z_i \ln(1.166E/J_i) / \sum m_i A_i \quad (2)$$

Para o livre caminho percorrido recorremos a equação (B.14) chamando a atenção quanto a sua dependência com o número aleatório  $R_1$  e a energia do elétron

$$\lambda = \lambda(E; R_1) \quad (3)$$

Com estes elementos podemos montar a relação de recorrência

$$E' = E_0 + \left. \frac{dE}{ds} \right|_{E_0} \lambda(E_0; R_1) \quad (4)$$

Aqui devemos tomar alguns cuidados com o livre caminho percorrido. O produto

$$\left. \frac{dE}{ds} \right|_E \lambda(E) \propto E$$

na ausência do fator aleatório e nos limites usados na prática, é grosseiramente linear com a energia. Isto nos garante que a "quebra" do movimento em segmentos menores fornecerá resultados semelhantes no tocante ao caminho percorrido. Devemos assim ter especial cuidado com o comportamento da componente aleatória do livre caminho percorrido impondo-lhe um limite superior razoável. Tal limite não resultará em maiores problemas durante a simulação pois o livre caminho percorrido

tem uma distribuição de Poisson e valores duas vezes maiores que a média tornam-se muito improváveis.

Por fim resta o espalhamento angular cujo responsável é o espalhamento elástico (supomos que no espalhamento inelástico o desvio angular é desprezível). Por razões de simplicidade usaremos o espalhamento Rutherford clássico que descrevemos no apêndice C. O ângulo de espalhamento com a direção do movimento se escreve como

$$\theta = 2 \arctg(R_2 \frac{bz}{E}) \quad (5)$$

onde  $R_2$  é uma variável aleatória uniformemente distribuída entre 0 e 1. Resta um parâmetro empírico  $b$  a ser ajustado com as primeiras simulações de forma a produzir o coeficiente de espalhamento correto. As simulações realizadas mostram em nosso trabalho que a dependência de  $b$  com a energia inicial  $E_i$  pode ser descrita por

$$b = 0.2798E_i^{-0.5333} \quad (6)$$

As razões para adotarmos um modelo tão simples são:

- i) Um modelo de primeiros princípios requer um tempo computacional incompatível com os nossos recursos e propósitos
- ii) Foi mostrado por Liljequist [3] que o resultado final da simulação Monte Carlo é dominado pelo modelo do livre caminho médio adotado, tendo o espalhamento angular pouca influência. O autor em questão mostra inclusive simulações onde vai ao extremo de colocar um ângulo de espalhamento fixo por todo o processo, obtendo resultados bastante coerentes.

Se imaginarmos um sistema de coordenadas esféricas centrado sobre o elétron, podemos dizer que a nova posição do elétron é definida pelo livre caminho percorrido (distância), pelo ângulo de espalhamento

elástico (ângulo polar) e finalmente por um ângulo azimutal que não consideramos até agora. A situação está ilustrada na figura 2. O ângulo azimutal é o ângulo que o parâmetro de impacto (vide apêndice C) forma com um eixo centrado sobre o átomo espalhador, como não há ângulo preferencial neste caso supomos que o ângulo azimutal é dado por

$$\phi = 2\pi R_3 \quad (7)$$

onde  $R_3$  é uma variável aleatória uniformemente distribuída entre 0 e 1.

Note que o movimento será determinado por três variáveis aleatórias  $R_1, R_2$  e  $R_3$  e correspondem aos três graus de liberdade do sistema tridimensional, fechando desta forma o nosso modelo de simulação.

Há uma dificuldade prática na implementação deste modelo que consiste no fato de termos que trabalhar simultaneamente com o referencial de laboratório e o da partícula sendo que esta última requer um sistema cartesiano diferente para cada espalhamento. Simetrias do problema levam evidentemente a simplificações que evitam o uso de matrizes de rotação e transferência. Toda esta questão encontra-se detalhada no apêndice D.

### Distribuição angular

Um aspecto sumamente importante na simulação Monte Carlo da microssonda eletrônica é o comportamento dos elétrons retroespalhados, isto é, elétrons do feixe primário que incidem sobre a amostra, sofrem processos de espalhamento e em seguida saem novamente da amostra. Um bom teste para o modelo é a distribuição angular dos elétrons retroespalhados. Para se entender melhor o que acontece é conveniente adotar o sistema de eixos cartesianos indicado na figura 1.

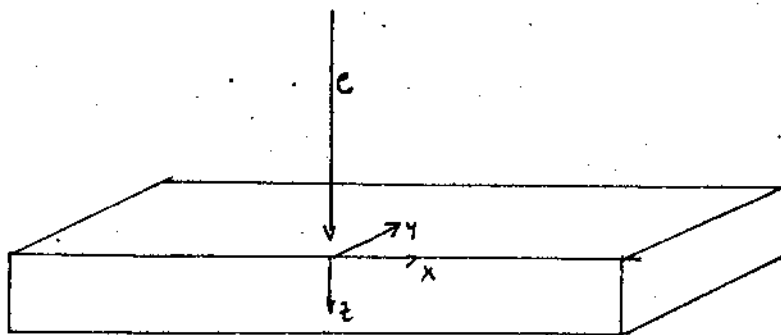


Figura 1

Onde o eixo z está direcionado para baixo, assim os elétrons incidentes vêm com a componente em z positiva e os elétrons retroespalhados com a componente negativa. Uma conclusão imediata a que se pode chegar sobre a possível uniformidade das distribuições angulares é em relação ao plano definido pelos eixos x e y quando temos uma incidência perpendicular a este plano: deve ser uma distribuição uniforme em uma

amostra homogênea e que supomos isotrópica (os elétrons primários não sofrem influência no espalhamento angular devido a planos do cristal por exemplo). Possuindo esta simetria a distribuição angular em relação a qualquer plano contendo o eixo z deve ser a mesma.

A figura 3 mostra os resultados obtidos pela nossa simulação para o ferro à uma tensão de aceleração de 30KeV. Nesta figura mostramos na forma de um histograma polar a média das energias dos elétrons retroespelhados em cada ângulo, onde na parte superior a distribuição é vista de lado e na parte inferior é vista como uma projeção no plano x' e y' tal como indicado na figura 2.

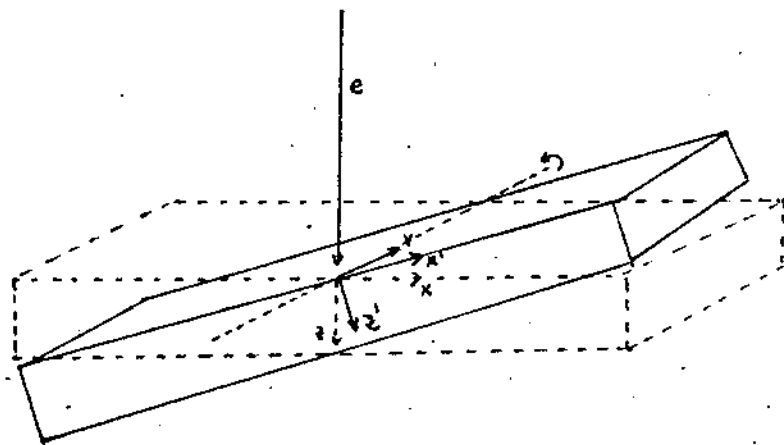


figura 2

Em seguida é mostrado como mudam as distribuições quando mudamos o ângulo de incidência da amostra. Podemos ver que à medida que variamos o ângulo a distribuição desloca o seu máximo também, sugerindo um comportamento de reflexão especular deste máximo.

Este teste é uma excelente averiguacão não só do modelo mas também do próprio programa. Como exemplo citamos o fato que ocorreu connosco quando havia uma falha no nosso programa de simulação, na secção que calculava os parâmetros geométricos de movimento do elétron, realmente apareciam distorções visíveis nas distribuições angulares. Uma vez detetada a falha, nós a corrigimos e o programa voltou a fornecer resultados coerentes.

Consideramos portanto este teste como sendo excelente critério de avaliação do modelo e do programa de simulação.

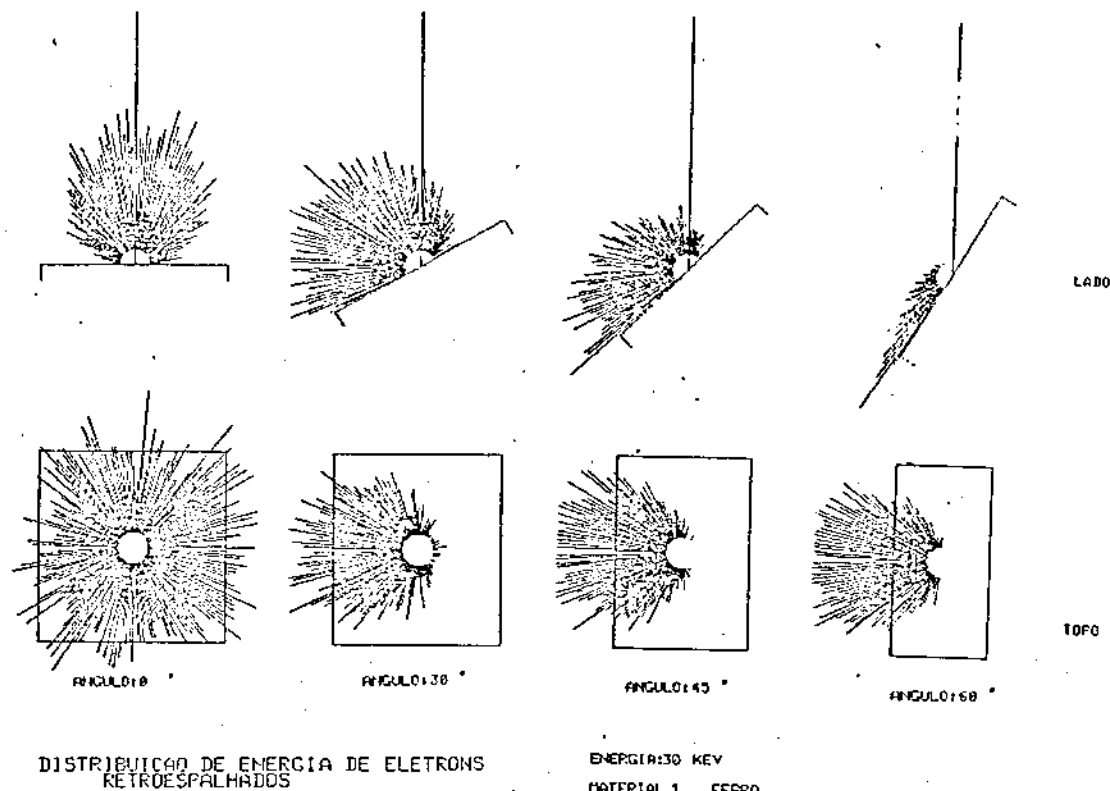


Figura 3

Variação da distribuição de energia com o ângulo. Usamos um tipo de histograma polar, o comprimento das linhas é proporcional à intensidade da energia retroespalhada.

## 2 - Perda de Energia em Função da Profundidade

Os resultados da dissipação de energia em função da profundidade merecem especial destaque, isto porque é com estes resultados que aplicamos os nossos modelos de EBIC (vide capítulo 3).

Para o tipo de modelo de EBIC que usamos será suficiente mostrarmos como a energia é dissipada em função da profundidade, isto é, a energia do feixe dissipada entre  $z$  e  $z+dz$  sobre toda a extensão nas direções  $x$  e  $y$ .

Uma curva de dissipação de energia em função da profundidade (doravante chamada de curva  $dE/dz$ ) com alta resolução (tipicamente 1000 intervalos) requer um tempo de simulação muito grande uma vez que a convergência estatística é lenta, isto é, a precisão aumenta com a raiz quadrada do número de trajetórias. Quadruplicar o número de trajetórias apenas dobra a precisão. Para ilustrar este efeito de convergência mostramos na figura 1 simulações com números crescentes de trajetórias para um laser de InGaAsP. Pode se ver que a estrutura de camadas torna-se aparente a partir de 100.000 trajetórias. Apontamos algumas dificuldades na simulação de compostos quaternários do tipo do InGaAsP onde é necessário trabalhar com médias dos números atômicos, massa atômica e da densidade (parâmetros relevantes na simulação). A densidade (assim como o "gap") tem de ser calculada a partir de interpolações com os dados dos respectivos compostos ternários. Estes esquemas de interpolação são extensamente discutidos por Adachi [1]. O

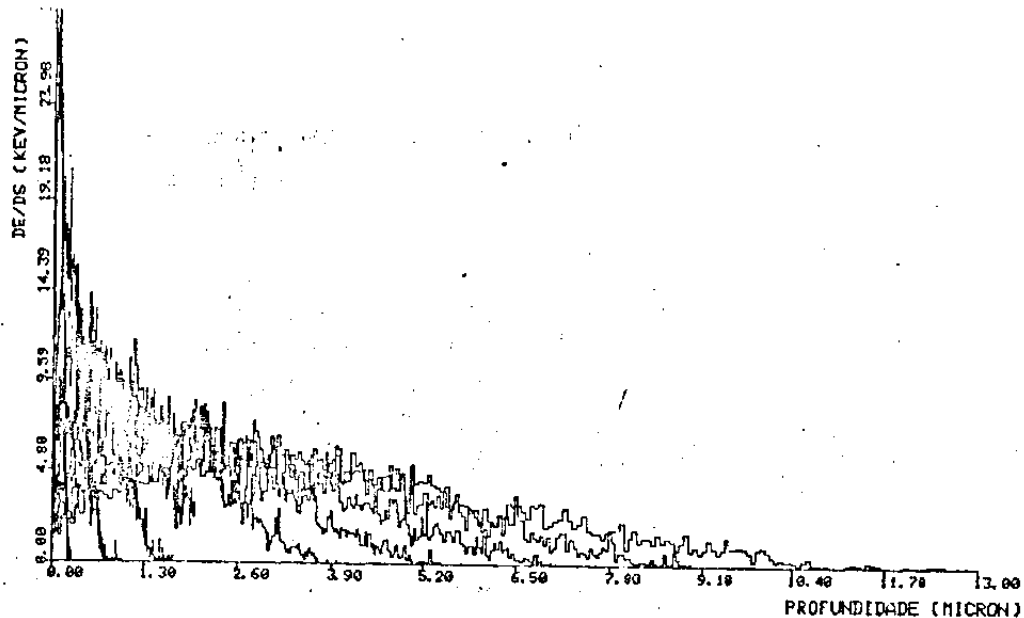
número atômico e a massa atômica podem ser encontrados por médias ponderadas com as frações de massa respectivas.

Para estruturas mais complexas como no caso do laser de InGaAsP é importante que a estrutura das camadas se torne visível. Na figura 2 mostramos detalhes da última curva  $dE/dz$  da figura 1 para ilustrar a sensibilidade em relação às interfaces.

Mostramos simulações para amostras homogêneas de GaAs (figura 3) e InP (figura 4), que serão utilizadas mais tarde na simulação de diodos de homojunção.

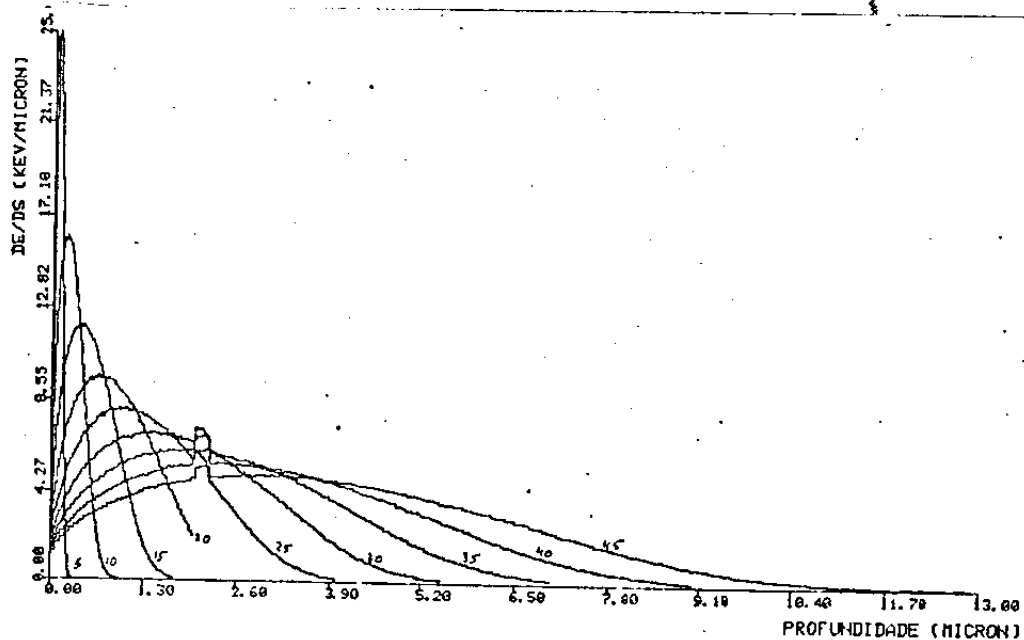
As curvas de perda de energia  $dE/dz$  têm ainda a vantagem de oferecer uma visão mais realista sobre o comportamento da microssonda. O que normalmente é adotado para os modelos de EBIC são distribuições de espalhamento dos elétrons obtidas por outras simulações Monte Carlo, originariamente efetuadas para microanálise. No caso da microanálise interessa saber onde o elétron primário realizou um espalhamento inelástico o suficientemente forte para produzir um fóton de raio-X característico. A distribuição dos espalhamentos fornece neste caso um formato peculiar de "pera", que acabou dando o nome de pera para a microssonda.

O uso das curvas  $dE/dz$ , portanto constituem uma maneira nova e mais realista nos cálculos de efeitos que dependem mais sensivelmente da distribuição de energia.



MICROSCOPIA ELECTRONICA

SIMULACAO MONTE CARLO

L P D LABORATORIO DE PESQUISA  
EM DISPOSITIVOS

MICROSCOPIA ELECTRONICA

SIMULACAO MONTE CARLO

L P D LABORATORIO DE PESQUISA  
EM DISPOSITIVOS

Figura 1

Simulações para um laser de InGaAsP para 1.000 e 500.000 trajetórias

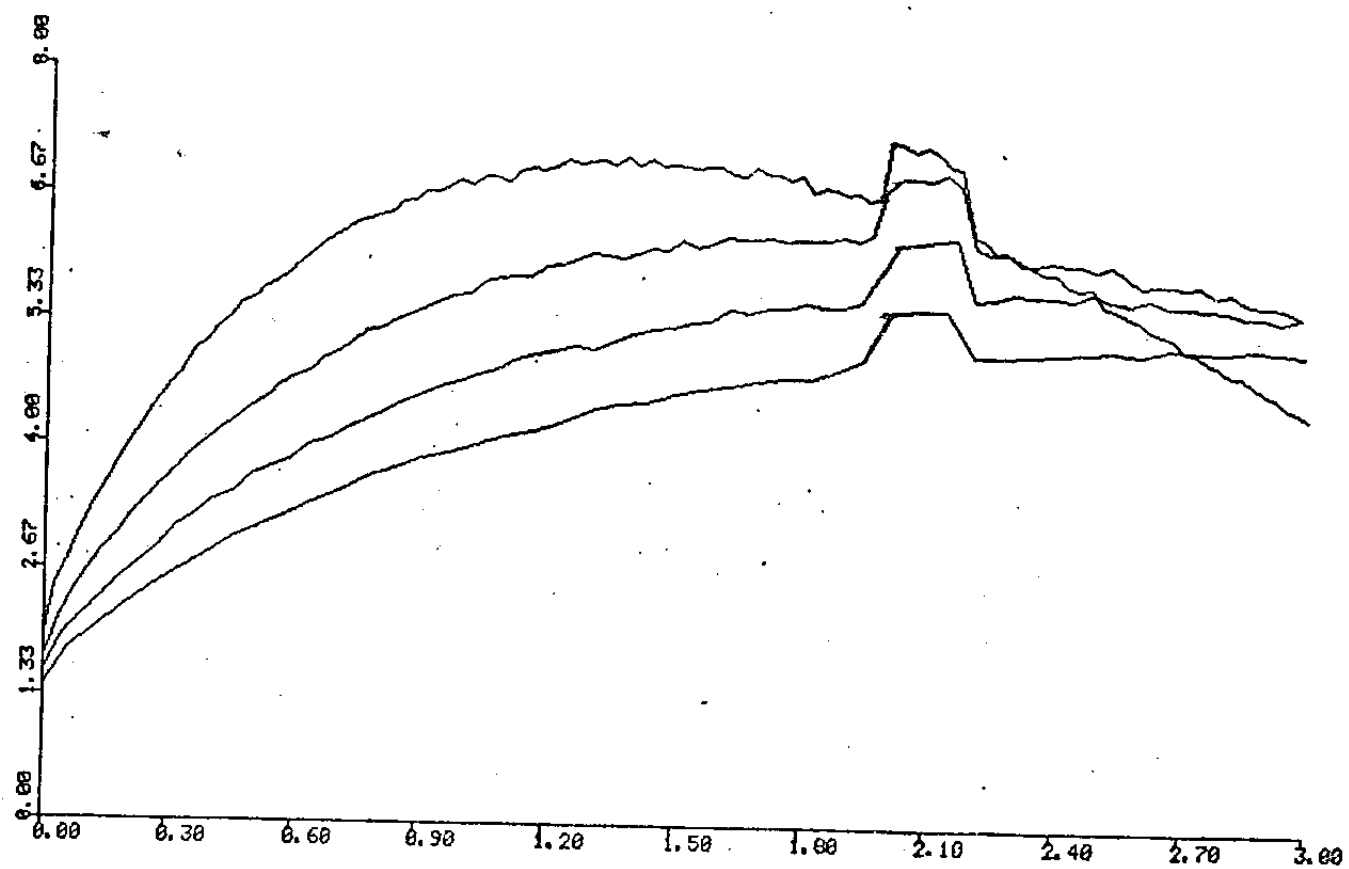


Figura 2

Detalhes da simulação de um laser de InGaAsP, 500.000 trajetórias

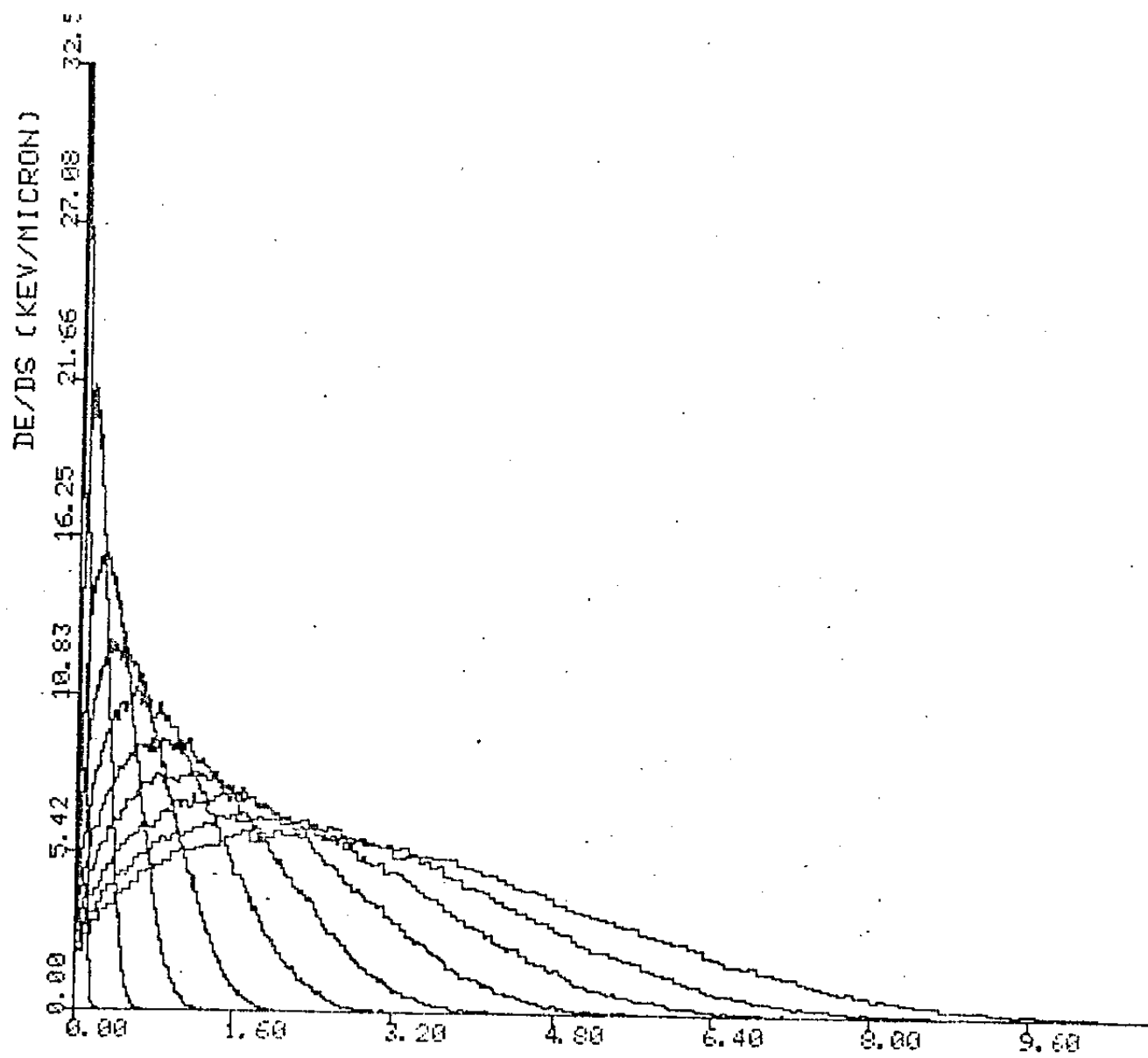
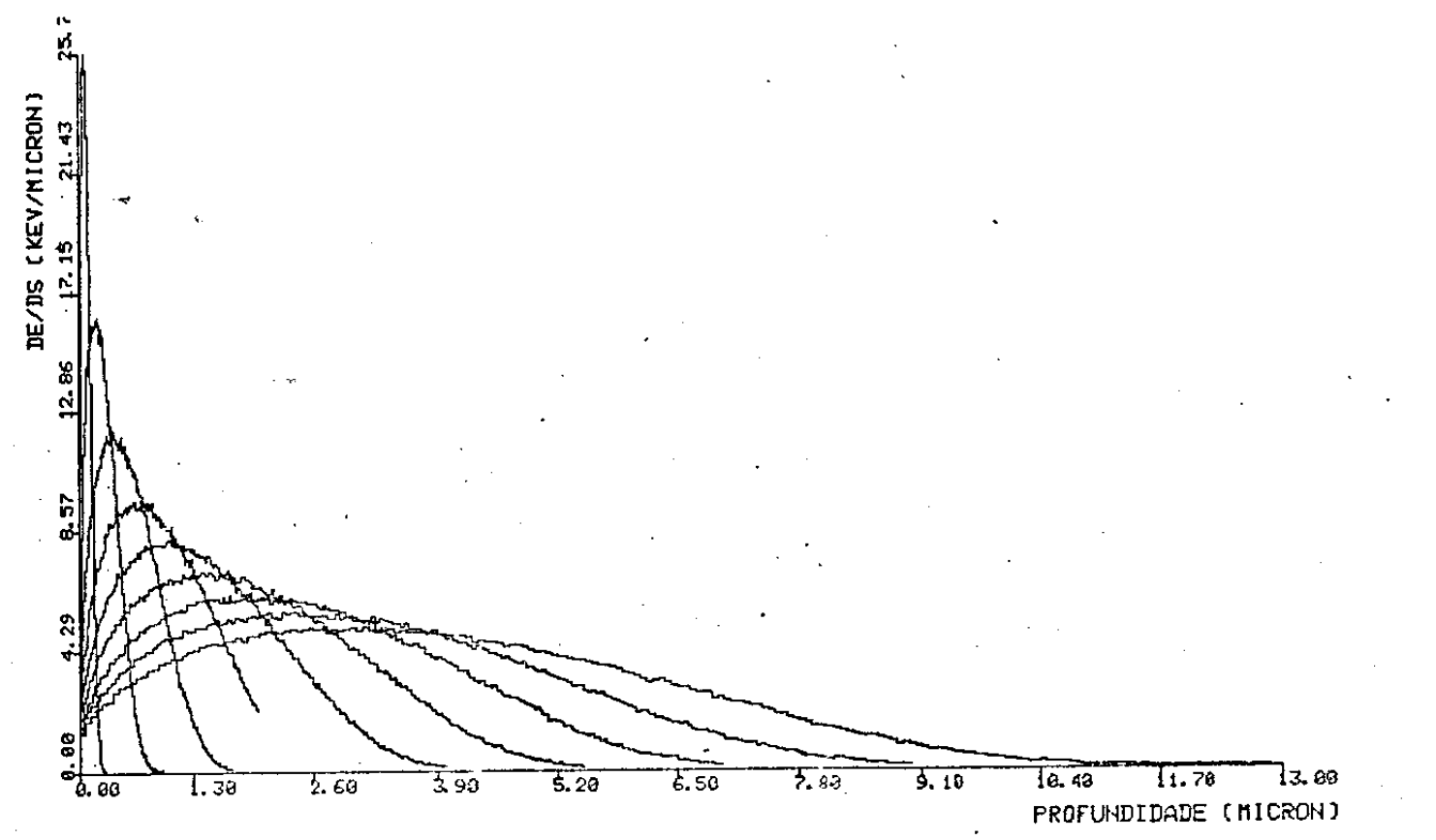


Figura 3

Simulação de diodo de homojunção de GaAs



ENERGIA DISSIPADA

INP  
PURO

REGISTRO NR.: 1020

MICROSCOPIA ELETRONICA

SIMULACAO MONTE CARLO

L P D LABORATORIO DE PESQUISA  
EM DISPOSITIVOS

Figura 4

Simulação de diodo de homojunção de InP

### 3 - Corrente Induzida por feixe eletrônico (EBIC)

Antes de discutirmos o processo físico do fenômeno EBIC vamos fazer uma observação histórica. Ao contrário do que afirmam Hanoka e Bell[1], não foi Everhart[2], em 1958, o primeiro a fazer uma observação de EBIC em um microscópio eletrônico de varredura (SEM). Temos o artigo de Pfister[3] de 1957 com a primeira observação de EBIC. Por sinal, Pfister fez suas medidas para o Arseneto de Gálio publicando pela primeira vez as características de corrente versus tensão aplicada ao diodo no EBIC, com resultados muito bons para a época, sendo inclusive o primeiro a calcular a energia de ionização radiativa da qual falaremos mais adiante. Sendo a primeira fotografia com contraste EBIC feita por Lander et al.[4]

Mostramos na figura 1 o esquema experimental do modo EBIC. O feixe de elétrons incide em uma amostra semicondutora que possui um junção (ou barreira Shottky) o suficientemente próxima da microssonda (região hachurada). Um sinal elétrico é produzido desta forma e é medido com o esquema eletrônico indicado. É possível a partir deste sinal obter imagens correspondentes à varredura do feixe sobre a amostra.

O feixe eletrônico gera, ao incidir, um grande número de pares elétron-buraco, ao promover elétrons da banda de condução à banda de valência. Os portadores minoritários determinam o comportamento da difusão e são portanto os portadores importantes a serem considerados. O

comprimento de difusão é suficientemente longo para que os portadores sejam coletados na junção, produzindo assim uma corrente entre os terminais do amperímetro.

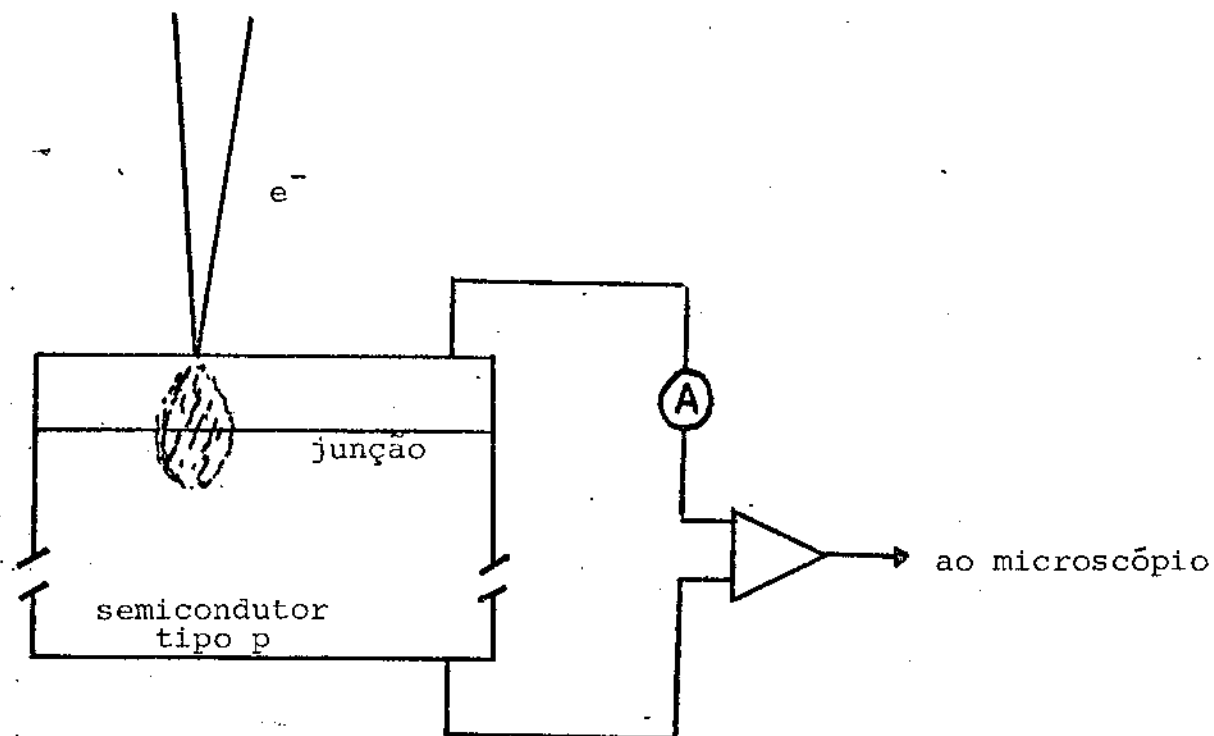


Figura 1

Esquema experimental do modo EBIC para um microscópio eletrônico de varredura

A taxa com que o feixe gera pares é discutida no apêndice E que trata da energia de ionização radiativa. A nossa preocupação neste tópico é o de determinar a difusão dos portadores, uma vez dada a geração de pares em função da posição. Vamos supor todo o processo, geração, difusão, recombinação com sendo estacionário.

A equação que governa o comportamento dos portadores minoritários é a equação de difusão, no caso para um material do tipo p

$$D\nabla^2 n(\vec{r}) - \frac{n(\vec{r})}{\tau(\vec{r})} + g(\vec{r}) = \frac{\partial n(\vec{r})}{\partial t} \quad (1)$$

onde  $D$  é a constante de difusão,  $n(r)$  é concentração de elétrons em excesso,  $\tau(r)$  é o tempo de vida local dos portadores e  $g(r)$  é a função de geração determinada pela microssonda. Como já dissemos antes, vamos supor uma situação estacionária, assim o lado direito da equação (1) se anula. Ressaltamos que o tempo de vida dos portadores é uma das principais fontes do contraste de EBIC e que, além da posição, pode ser dependente da concentração de portadores, especialmente sob condições de alta injeção de portadores.

A função  $n(r)$  possui uma função de Green que satisfaaz a seguinte equação diferencial

$$D\nabla^2 G(\vec{r}, \vec{r}') - \frac{G(\vec{r}, \vec{r}')}{\tau(\vec{r})} = -g_0 \delta(\vec{r} - \vec{r}') \quad (2)$$

onde  $r'$  é a posição da fonte. No caso unidimensional a função de Green coincide com a própria função de concentração  $n(r)$ . Se acharmos a solução da equação de difusão para a fonte pontual obteremos, com auxílio da função de geração dada pela simulação, a solução total, isto é, a concentração de portadores minoritários gerados pela microssonda.

Equação (2) deve satisfazer às seguintes condições de contorno, vide [7],

$$G(r, r') = 0 \quad \text{para } r \text{ pertencente a superfície da junção (3)}$$

e para todas as outras superfícies

$$D \frac{\partial G(\vec{r}, \vec{r}')}{\partial n_i} = S_i G(\vec{r}, \vec{r}') \quad \vec{r} \in S_i \quad (i=1, 2, \dots, N) \quad (4)$$

onde  $S_i$  é a velocidade de recombinação superficial e  $n_i$  é a normal ao plano  $S_i$ .

Se supormos uma fonte plana e paralela à junção, a simetria reduz o nosso problema ao caso unidimensional que é de tratamento matemático simples e de fácil interpretação. Considerando a equação de Green unidimensional satisfazendo a equação de difusão

$$\frac{\partial^2 G(x, x')}{\partial x^2} - \frac{G(x, x')}{L^2} = -g_0 \frac{\delta(x-x')}{D} \quad (5)$$

onde definimos o comprimento de difusão

$$L = \sqrt{Dt} \quad (6)$$

e escrevendo a transformada de Fourier da equação (5)

$$-k^2 G_F - \frac{G_F}{L^2} = -\frac{g_0}{D} \frac{e^{ikx'}}{\sqrt{2\pi}} \quad (7)$$

portanto a transformada de Fourier da função de Green é

$$G_F = \frac{g_0}{D\sqrt{2\pi}} \frac{e^{ikx'}}{(k^2 + 1/L^2)} \quad (8)$$

onde  $k$  é o vetor recíproco. Calculando agora a transformada inversa temos

$$G(x, x') = \frac{1}{\sqrt{2\pi}} \int_{-\infty}^{\infty} G_F e^{-ikx} dk = \frac{g_0}{4\pi D} \int_{-\infty}^{\infty} \frac{e^{ikx'} e^{-ikx}}{(k^2 + 1/L^2)} dk \quad (9)$$

Esta integral imprópria possui pólos em  $i/L$  e  $-i/L$ , podemos integrá-la então usando o método dos resíduos, obtendo desta forma [8]

$$G(x, x') = \frac{g_0 L}{2D} e^{-|x'-x|/L} \quad (10)$$

A equação (8) difere da solução dada por Hanoka e Bell [1] em um artigo de revisão (equação 10 daquele artigo), cuja solução não satisfaz a equação diferencial (2).

Aplicamos agora as condições de contorno a uma amostra semi-infinita com uma superfície plana em  $x=0$ , e a fonte pontual a uma distância  $x=x'$  da superfície

$$D \frac{\partial G'(x, x')}{\partial x} = SG'(x, x') \quad \text{em } x=0 \quad (4')$$

o que implica em usar o método das imagens, isto é, supor uma fonte virtual em  $x=-x'$ . Após o ajuste das constantes que resultam ao impor a condição de contorno (4') temos

$$\begin{aligned} G'(x, x') &= C_1 G(x, x') + C_2 G(x, x') = \\ &= \frac{q_0 L}{2DN} \left\{ e^{-|x'-x|/L} + \frac{D/L-S}{D/L+S} e^{-(x'+x)/L} \right\} \end{aligned} \quad (11)$$

onde  $N$  é uma constante de normalização que será determinada mais tarde.

Supomos agora uma junção a uma distância  $x''$  da superfície e paralela à esta (vide figura 2), onde aplicamos a condição de contorno

$$G''(x, x') = 0 \quad \text{para } x=x' \quad (3')$$

Novamente temos que recorrer ao método das imagens, supondo uma fonte virtual a uma distância  $x''$  da junção, isto é, a  $2x''+x'$  da superfície. A função de Green após o ajuste das constantes será

$$\begin{aligned} G''(x, x') &= C_1 G'(x, x') + C_2 G'(x, 2x''+x') = \\ &= \frac{q_0 L}{2DN} \left\{ e^{-|x'-x|/L} + \frac{D/L-S}{D/L+S} e^{-(x'+x)/L} - e^{-(x-2x''-x')/L} - \frac{D/L-S}{D/L+S} e^{-(x-2x''+x')/L} \right\} \end{aligned} \quad (12)$$

É importante notar que esta função de Green só é válida para o intervalo entre a superfície e a junção.

A corrente total coletada na junção será dada por [7]

$$I(x') = -qD \int_S \frac{\partial G}{\partial n} ds \quad (13)$$

e no nosso caso corresponde a

$$I(x') = qD \int_S \frac{\partial G(x, x')}{\partial x} \delta(x-x') dx \quad (13')$$

o que resulta em

$$I(x') = \frac{q q_0}{N} \left\{ e^{-(x''-x')/L} + \frac{D/L-S}{D/L+S} e^{-(x''+x')/L} \right\} \quad (14)$$

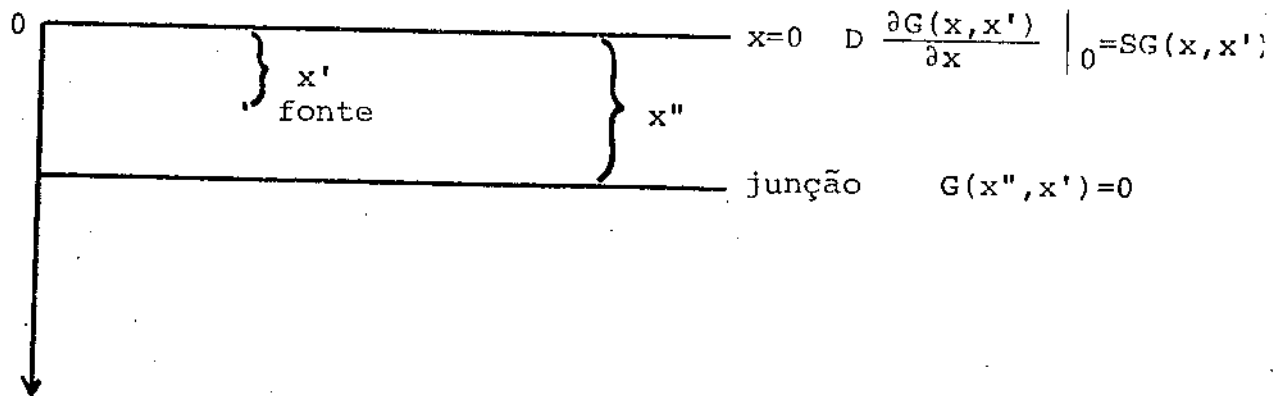


Figura 2

Geometria da amostra semi-infinita com uma junção a uma distância  $x''$

A equação (14) deve satisfazer, para uma fonte localizada na junção, a condição de contorno

$$I(x'') = qg_0 \quad (15)$$

análoga a condição de contorno dada por Donolato [7] para a função corrente.

Satisféita a condição de contorno (15) obteremos o fator de normalização

$$N = 1 + \frac{D/L - S}{D/L + S} e^{-2x''/L} \quad (16)$$

Finalmente a corrente coletada será

$$I(x') = qg_0 \left( 1 + \frac{D/L - S}{D/L + S} e^{-2x''/L} \right)^{-1} \left\{ e^{-(x'' - x')/L} + \frac{D/L - S}{D/L + S} e^{-(x'' + x')/L} \right\} \quad (17)$$

é possível ainda introduzir a simplificação

$$I(x') = qg_0 \frac{\beta(x')}{\beta(x'')} \quad (18)$$

onde definimos a função

$$\beta(x) = e^{x/L} + \frac{D/L-S}{D/L+S} e^{-x/L} \quad (19)$$

que torna evidente que a equação (18) satisfaz a condição (13) em  $x' = x''$ .

No caso em que a origem da coordenada não coincide com a localização da superfície, por exemplo colocando a superfície a uma distância  $x_1$ , temos a forma mais geral

$$I(x') = qg_0 \frac{\gamma(x', x_1)}{\gamma(x'', x_1)} \quad (20)$$

onde

$$\gamma(x, x_1) = e^{x/L} + \frac{D/L-S}{D/L+S} e^{+2x_1/L} e^{-x/L} \quad (21)$$

Para o caso mais simples onde temos m meio semi-infinito limitado apenas pela junção, sem possuir uma superfície que exige a condição dada pela equação (4), a solução imediata para uma junção a uma distância  $x''$  é

$$I(x') = qg_0 \frac{\alpha(x')}{\alpha(x'')} \quad \text{onde } \alpha(x) = e^{-x/L} \quad (22)$$

Para obter a corrente total produzida por uma distribuição de N fontes pontuais entre a superfície e a junção basta efetuarmos a soma

$$I = \sum_i^N I(x_i) g_0(x_i) \quad (23)$$

onde  $g(x')$  é dada pela simulação de Monte Carlo.

Se temos M regiões diferentes (que nos obrigam a aplicar soluções diferentes) a corrente total pode ser escrita como

$$I = \sum_1^M \sum_j^N I_i(x_j) g_0(x_j) \quad (24)$$

Para o caso de um diodo de junção pn tal como mostrado na figura 3 temos que a corrente total é

$$I_{PN} = q \left\{ \sum_{i < j} \frac{\beta_{L_1}(x_i)}{\beta_{L_1}(x_j)} g_0(x_i) + \sum_{i > j} \frac{\alpha'_{L_2}(x_i)}{\alpha'_{L_2}(x_j)} g_0(x_i) \right\} \quad (25)$$

onde  $x_j$  é localização da junção.

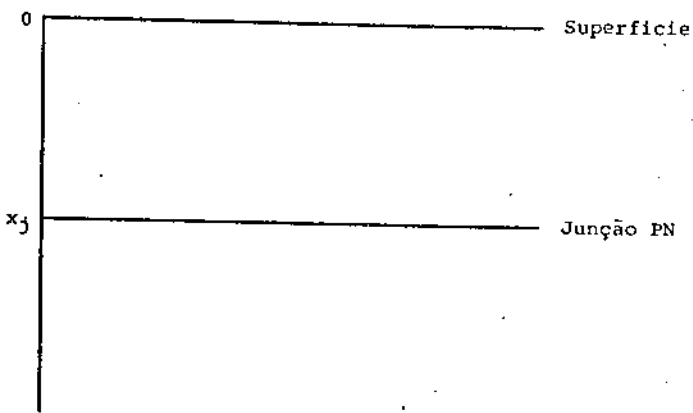


Figura 3

Para um Laser de heteroestrutura dupla mostrado na figura 4 a corrente total será dada por

$$I_{Laser} = q \left\{ \sum_{i < j} \frac{\beta(x_i)}{\beta(x_k)} g_0(x_i) + \sum_{j < i < k} \frac{\gamma(x_i, x_j)}{\gamma(x_k, x_j)} g_0(x_i) + \sum_{k < i < m} \frac{\alpha(x_i)}{\alpha(x_k)} g_0(x_i) \right\} \quad (26)$$

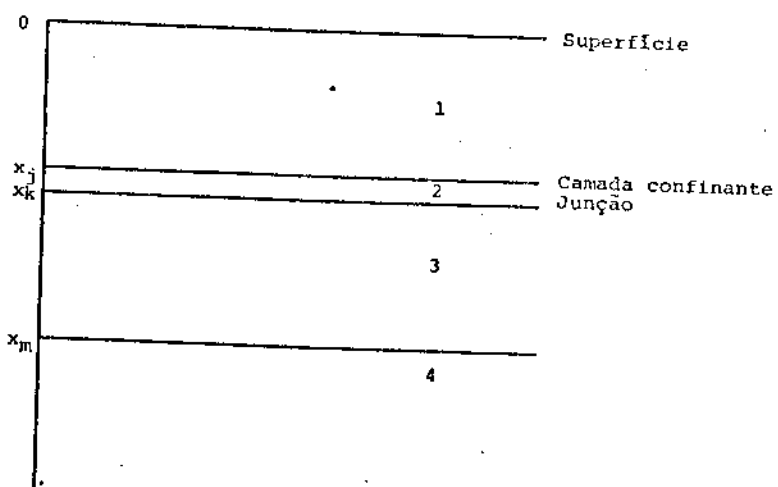


Figura 4  
Laser de heteroestrutura dupla.

A razão para este tipo de modelo é que os portadores podem mover-se livremente da camada 1 para a 2 (confinante) mas não o contrário. Na interface 1-2 é conveniente colocar a velocidade de recombinação  $s=0$ . Isto significa que os portadores não são coletados da superfície o que seria uma propriedade desejável em uma camada que tem por função confinar os portadores. A interface 3-4 não oferece maiores preocupações pois a sonda em condições típicas de trabalho (5-45 keV) não a alcança.

Assumimos em todos estes modelos implicitamente o fato de que o comprimento de difusão  $L$  depende da camada em que se localiza a fonte.

Desenvolvemos neste capítulo um modelo simples e versátil para calcular a corrente total coletada a partir de resultados obtidos pelo método de Monte Carlo (resultados do capítulo 2). A aproximação mais importante foi considerar a sonda como um conjunto finito de fontes planas paralelas à junção, ponderadas segundo a energia dissipada em

função da profundidade. Evidentemente é possível considerar um conjunto de fontes pontuais mas neste caso seremos obrigados a usar curvas de perda de energia em três dimensões. Naturalmente esbarraremos em limitações como tempo de processamento computacional e espaço de memória em detrimento da precisão do cálculo.

Fica em aberto a escolha do comprimento de difusão dos portadores e das velocidades de recombinação superficial. Esta escolha deve seguir por considerações de natureza qualitativa das propriedades dos materiais envolvidos. O GaAs por exemplo terá a velocidade de recombinação tipicamente tendendo a infinito.

#### 4 - Resultados da Simulação do EBIC

Para utilizarmos os resultados do capítulo precedente é necessário adicionar alguns parâmetros tais como a velocidade de recombinação superficial e o comprimento de difusão nas diversas regiões do dispositivo.

A velocidade de recombinação superficial pode ser tomada em dois extremos,  $s=0$  e  $s \rightarrow \infty$ , neste caso a função (4.21) fica

$$\gamma(x, x_1) = e^{x/L} \pm e^{+2x_1/L} e^{-x/L} \quad (1)$$

onde o sinal positivo está para a velocidade de recombinação nula e o negativo para a velocidade de recombinação tendendo ao infinito. Desta forma não será necessário nos preocuparmos com o coeficiente de difusão D que é eliminado desta forma..

Resta determinarmos o comprimento de difusão L. Aqui não temos como definirmos extremos e as medidas experimentais de L são as mais desencontradas possíveis. Podemos por outro lado usar os modelos e ajustá-los para obtermos os mesmos valores das correntes coletadas medidas experimentalmente e estaimar desta forma os valores de L.

Vamos apresentar primeiro alguns resultados para diodos de homojunção pn tal como discutido no capítulo 3, utilizando a solução (3.18)

$$I(x') = f g_0 \frac{\beta(x')}{\beta(x'')} \quad (2)$$

Como pode-se notar a equação (2) tem termos separados em função da localização da fonte ( $x'$ ) e da função ( $x''$ ). Podemos nos valer desta pro-

priedade para calcularmos a corrente de EBIC de diversos diodos de homojunção com profundidade de junção diferentes. Isto é possível devido ao fato de que a microssonda não é sensível à dopagem do meio. Em outras palavras, a concentração das impurezas é muito pequena para influir no espalhamento dos elétrons do feixe. Desta forma podemos calcular a corrente EBIC de muitos diodos diferentes com os resultados de apenas um única simulação Monte Carlo para um determinado semicondutor. Por exemplo diodos de GaAs com profundidades de junção a 1,2,3 etc. micron.

A forma da solução (2) nos permite montar um esquema de cálculo extremamente simplificado quando desejamos calcular a corrente a diversas profundidades diferentes da junção. De outra forma os cálculos levariam um tempo de computação muito maior.

Lembramos que a solução para o diodo se escreve como sendo (equação (3.25))

$$I_{PN} = q \left( \sum_{i < j} \frac{\beta_{L_1}(x_i)}{\beta_{L_1}(x_j)} g_0(x_i) + \sum_{i > j} \frac{\beta_{L_2}(x_j)}{\beta_{L_2}(x_i)} g_0(x_i) \right) \quad (3)$$

As funções  $\alpha$  e  $\beta$  são calculadas em todo o intervalo que interessa e armazenados em um vetor. Feito isto basta fazer as somas da equação (3). O que evitamos, ao final de tudo, é recalcular as mesmas coisas muitas vezes. Na figura 1 e 2 mostramos os resultados para um diodo de GaAs com comprimentos de difusão idênticos antes e depois da junção. O que variamos no caso é a profundidade da junção. As correntes são calculadas até o alcance da microssonda. Na figura 1 temos a velocidade de recombinação superficial nula e na figura 2 esta velocidade é infinita. Podemos notar duas propriedades ao comparar as duas figuras. A influência da superfície diminui quando a microssonda penetra muito na

amostra (alta tensão do feixe) e quando a junção está longe da superfície como seria de se esperar. Nas figuras 3 e 4 repetimos os cálculos para um comprimento de difusão muito grande antes da junção em relação ao comprimento de difusão depois da junção. As figuras 5 e 6 invertem a situação, desta vez o comprimento de difusão é maior depois da junção.

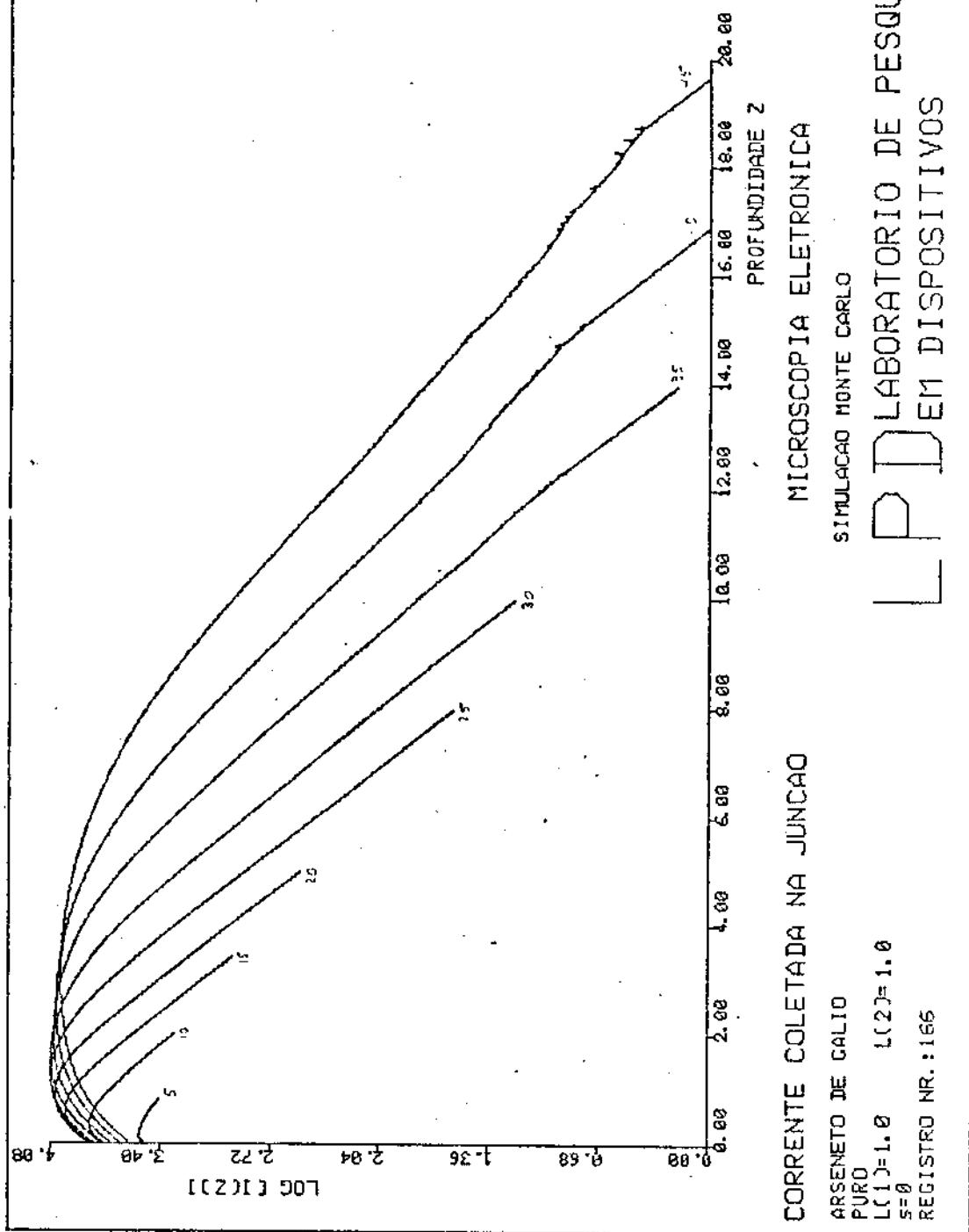


Figura 1

Diodo de GaAs, calculado para  $L(1)=1$  e  $L(2)=1$ . Velocidade de recombinação superficial nula.

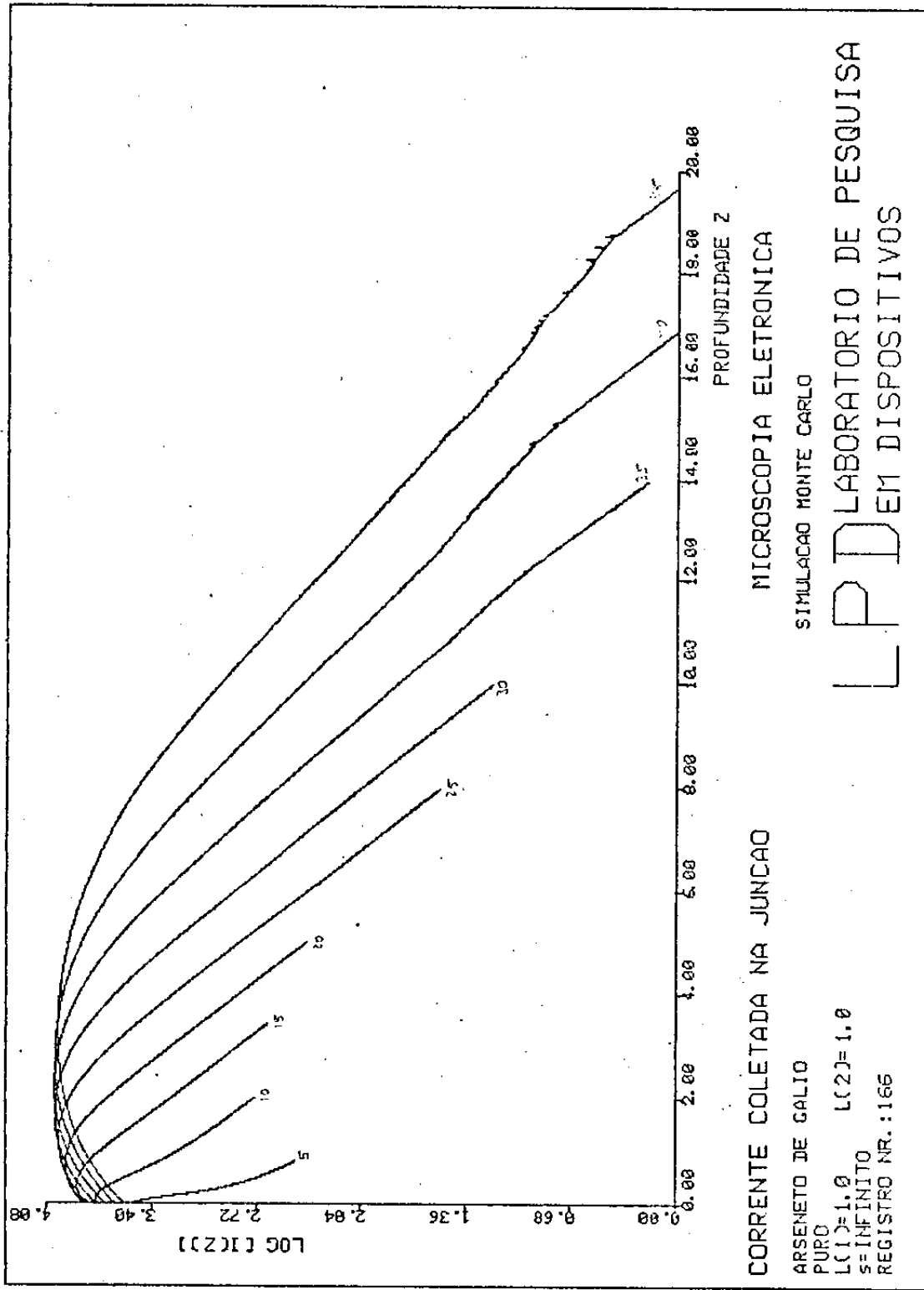
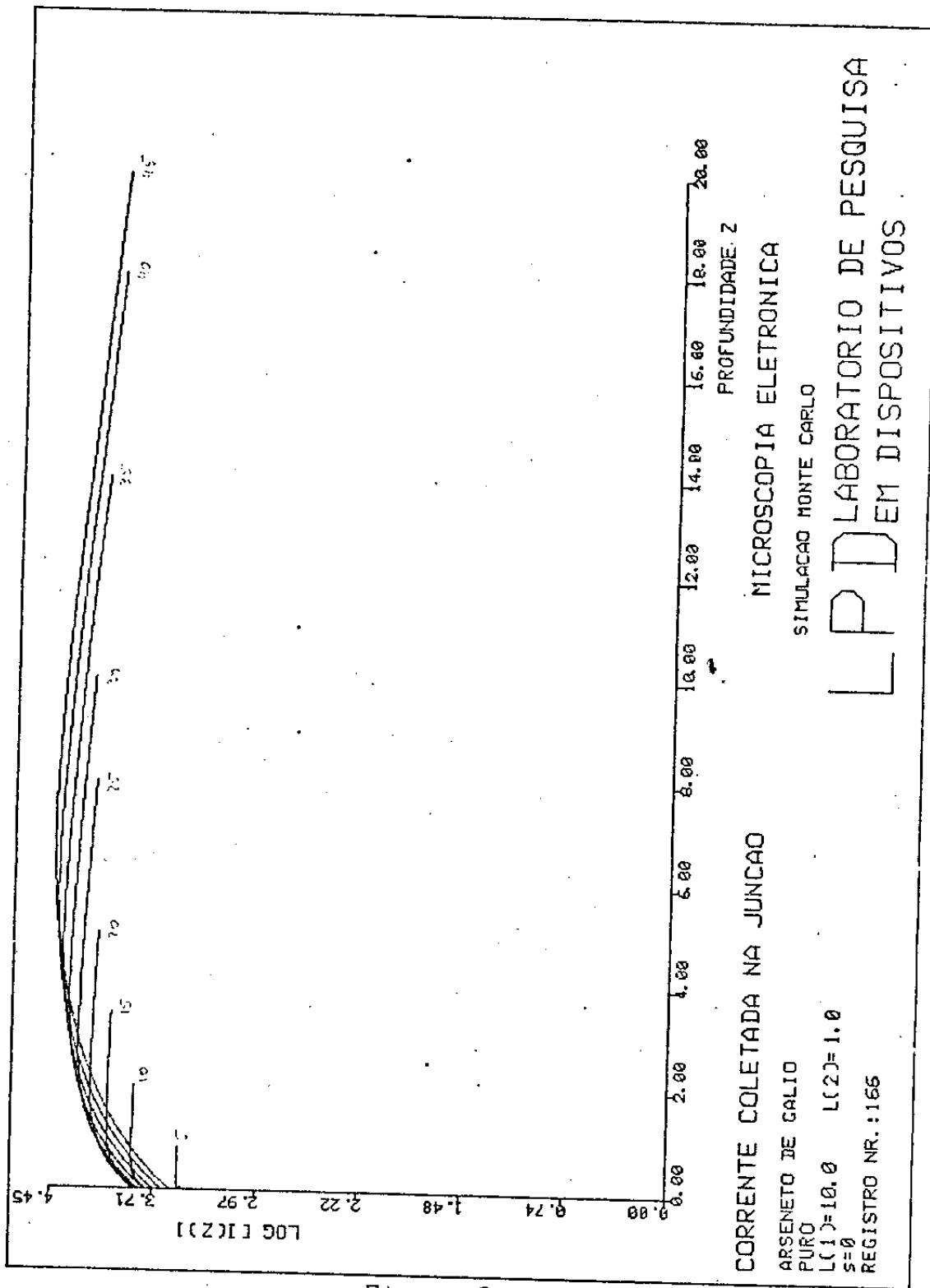


Figura 2

Idem Figura 1, para velocidade de recombinação superficial infinita.



Diodo de GaAs, calculado para  $L(1)=10$  e  $L(2)=1$ . Velocidade de recombinação superficial nula.

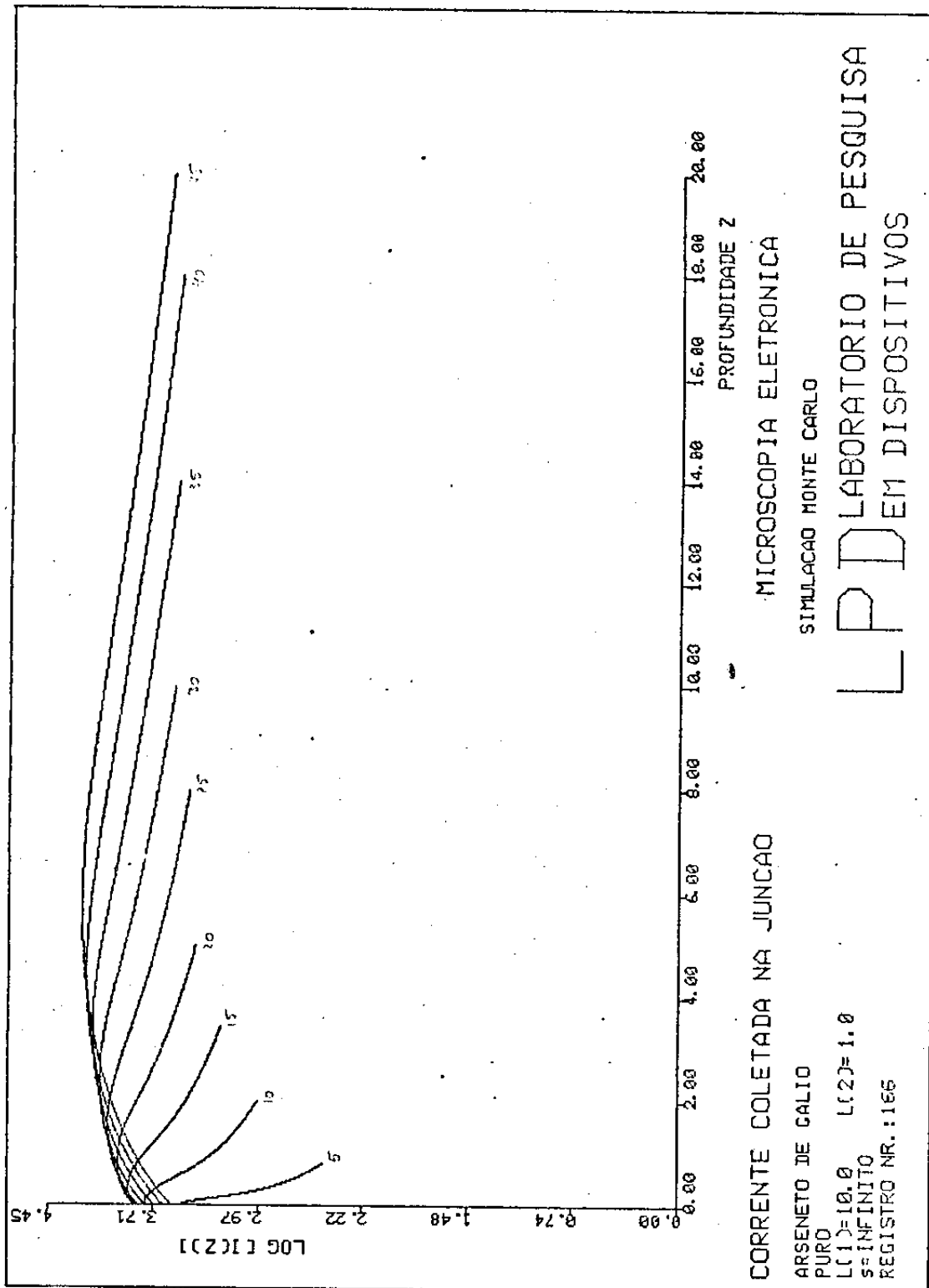


Figura 4

Idem Figura 3, para velocidade de recombinação superficial infinita.

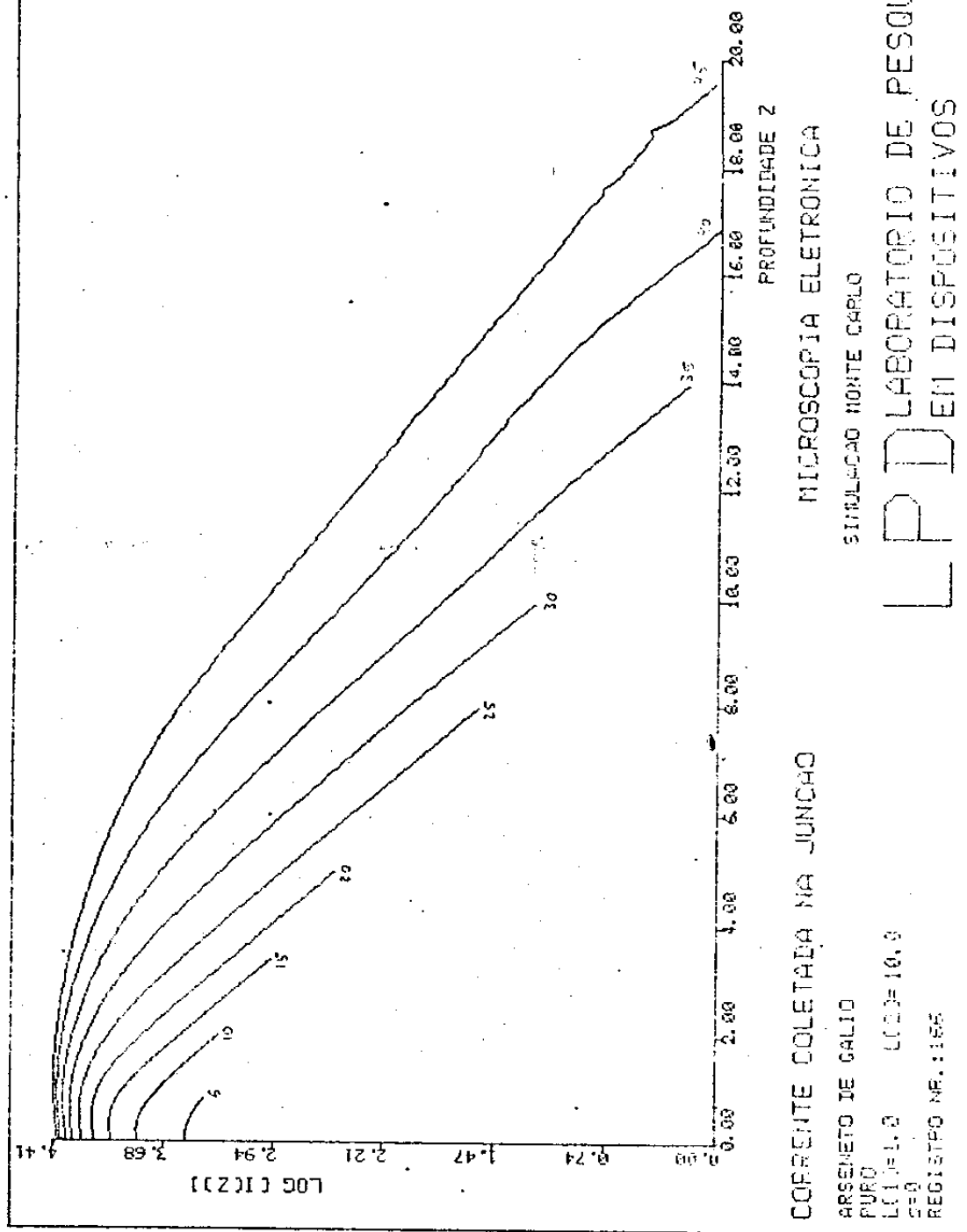


Figura 5

Diodo de GaAs, calculado para  $L(1)=1$  e  $L(2)=10$ . Velocidade de recombinação superficial nula.

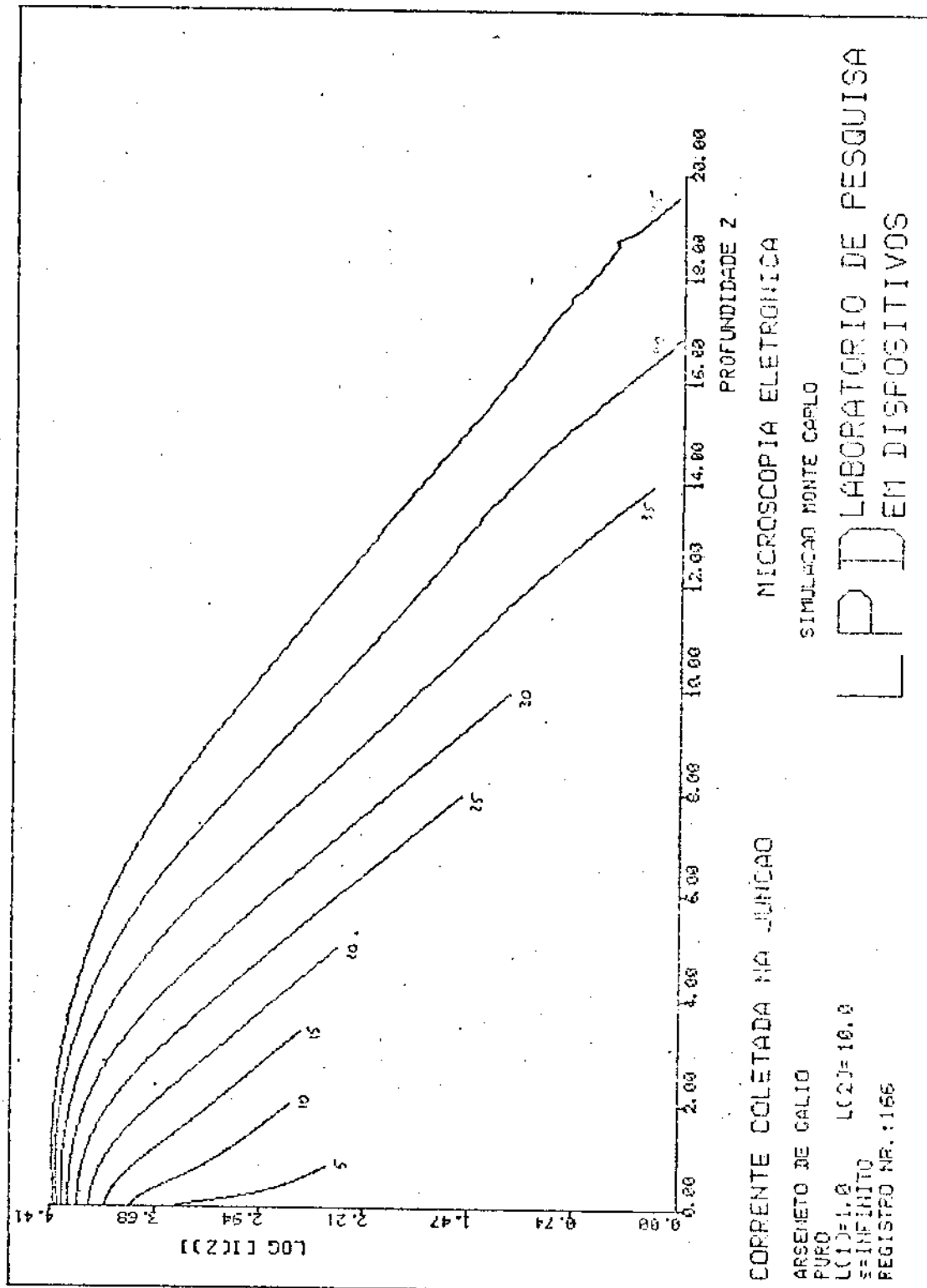


Figura 6

Idem Figura 5, para velocidade de recombinação superficial infinita.

Para um laser tal como o da figura 7 não é muito interessante o tipo de cálculo que efetuamos para o diodo. Isto porque as dimensões não são facilmente variáveis, ou seja, teriam que ser crescidos vários tipos de diodos diferentes.

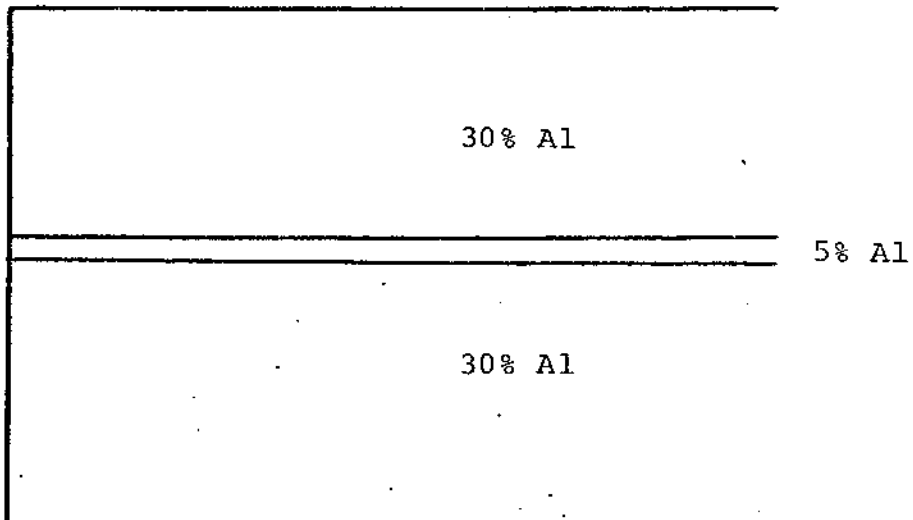


Figura 7

Laser de Heteroestrutura dupla

Existe grande interesse na obtenção de comprimentos de difusão a partir de medidas experimentais. Com o modelo que desenvolvemos é possível estimar esses comprimentos de difusão de cada camada do laser. Para isto usamos as medidas e os cálculos para diferentes tensões do feixe. Supomos que os comprimentos de difusão dos portadores não são afetados pela variação da tensão. Isto é razoável e encontra embasamento experimental. A questão da produção de portadores é discutida no apêndice E.

Usando as medidas para um laser de GaAsAl com as características indicadas na figura 7, podemos fazer um ajuste de curvas de forma a obter o melhor conjunto de comprimentos de difusão. Neste caso encontramos 0.3, 0.1 e 2.3 micron para as camadas indicadas como sendo a 1,2 e a 3 na figura 7, respectivamente. Os dados das correntes (na realidade indicamos os ganhos de corrente sobre a corrente do feixe) estão indicados na tabela 1. Os cálculos foram realizados para uma velocidade de recombinação superficial infinita. Isto é razoável pois a recombinação superficial do GaAs é muito alta.

| Energia | I <sub>c</sub> (calculada) | I (experimental) |
|---------|----------------------------|------------------|
| 5       | 1.491                      | 0                |
| 10      | 14.407                     | 32               |
| 15      | 116.000                    | 120              |
| 20      | 574.000                    | 540              |
| 25      | 1364.000                   | 1000             |
| 30      | 1575.000                   | 1300             |
| 35      | 1501.000                   | 1500             |
| 40      | 1327.000                   | 1550             |
| 45      | 1161.000                   | 1500             |

Tabela 1

Para efetuar este tipo de simulação é necessário calcular previamente a densidade específica e o "gap" do material de determinada camada. Isto em geral é feito por interpolações. Esquemas completos para

compostos ternários (GaAsAl) encontramos no artigo de revisão de Adachi [1], e para quaternários (InGaAsP) no artigo também de Adachi [2].

## 5 - Conclusão

Desenvolvemos uma ferramenta que nos permite calcular a corrente induzida por feixe eletrônico para um diodo simples e um laser de heterojunção.

A intenção principal deste trabalho foi o de substituir os modelos analíticos de microsonda por uma distribuição mais realista obtida a partir da simulação Monte Carlo. A vantagem adicional consiste no fato de podermos assim lidar com estruturas complexas que não poderiam ser abordadas por nenhum modelo analítico.

Uma das possíveis aplicações práticas e imediata seria a estimativa do comprimento de difusão dos portadores. Mas a motivação do nosso trabalho não foi esta. Criamos uma ferramenta e a testamos a partir de considerações e modelos simples e demonstramos a sua coerência. O fruto principal deste trabalho é o leque de aplicações e estudos que se abre daqui em diante. Desenvolver modelos que abordem outras situações experimentais de EBIC e de catodoluminescência tornou-se bem mais simples. Eis uma pequena lista do que pode ser feito:

- a) Análise de defeitos por EBIC. Diferentes tipos de defeitos podem ser propostos e seus efeitos sobre a corrente podem ser estudados e correlacionados com dados experimentais
- b) Estudos de contraste e resolução em EBIC e catodoluminescência.
- c) Estudo de catodoluminescência espectral. Isto pode ser um trabalho valiosíssimo uma vez que pode se lançar assim as bases

para a catodoluminescência quantitativa. O aparato teórico é muito parecido com o EBIC e não deve oferecer maiores dificuldades.

Naturalmente estes tópicos podem ser estendidos e subdivididos dependendo das aplicações.

## A - Equação de Perda de Energia

O processo mais importante a ser considerado na simulação da trajetória de um elétron em um sólido é sem dúvida a perda de energia ao longo desta mesma trajetória. A perda de energia se dará nas colisões inelásticas com os elétrons dos átomos. Bethe [1] em 1930 deduziu a expressão quântica para esta perda de energia que é adotada mesmo nos trabalhos mais recentes em simulação Monte Carlo [2]. Não deduziremos aqui a equação de Bethe pelo procedimento quântico usual mas sim faremos o desenvolvimento de um cálculo semi-clássico, talvez um pouco menos rigoroso, que possui a vantagem de ser muito mais direto e menos tedioso. Para tanto usaremos um procedimento semelhante ao que foi usado por Jackson [3] para deduzir a perda de energia clássica de Bohr.

Imaginaremos inicialmente um elétron colidindo com um outro, em repouso, a uma velocidade  $v$  e com uma energia dada por

$$E = \gamma m c^2 \quad (\text{A.1})$$

onde  $\gamma$  é dado por

$$\gamma = (1 + \beta)^{1/2}$$

e  $b$  é o chamado parâmetro de impacto do elétron incidente.

Agora será necessário avaliarmos o campo causado pela partícula incidente.

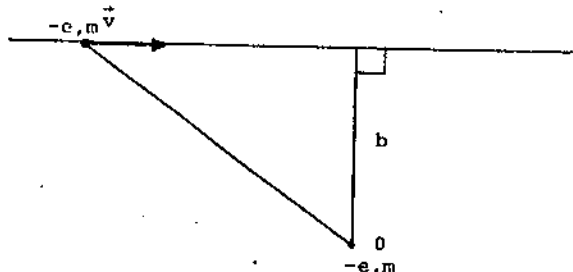


Figura A.1

Para calcularmos este campo consideremos a geometria indicada na figura A.2 onde indicamos dois referenciais cartesianos, um deles se movendo a uma velocidade  $v$  do outro. Fica claro que os eixos cartesianos correspondentes dos dois referenciais são sempre paralelos, e supomos que o desvio angular da partícula incidente é suficientemente pequeno para ser desprezado.

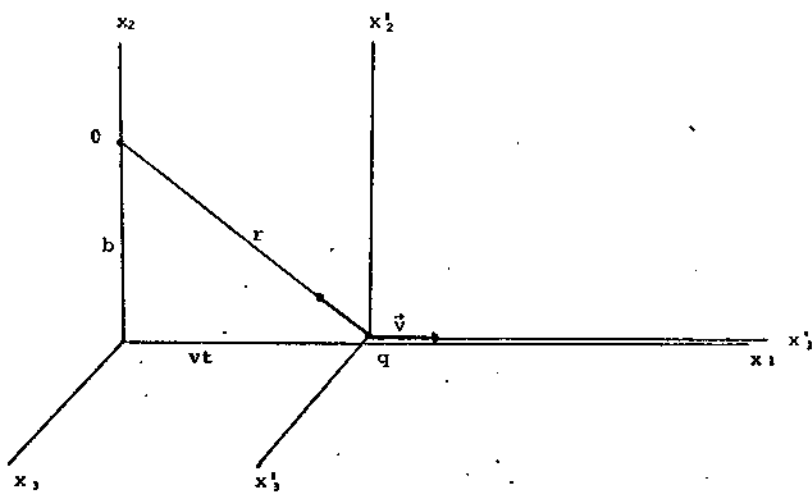


figura A.2

Pode-se mostrar que, usando as transformações de Lorentz, os campos no referencial do elétron em repouso no ponto  $o$  serão

$$E_1 = + \frac{evt}{(b^2 + \gamma^2 v^2 t^2)^{3/2}} \quad (A.2)$$

$$E_2 = - \frac{\gamma eb}{(b^2 + \gamma^2 v^2 t^2)^{3/2}}$$

com todas as outras componentes nulas. Ainda pode-se mostrar que o intervalo de tempo durante o qual os campos serão apreciáveis é

$$\Delta t = \frac{b}{\gamma v} \quad (A.3)$$

O intervalo de tempo dado por (A.3) se relaciona ao fato de que os campos dados por (A.2) têm a forma de lorentzianas de largura  $b/\gamma v$ .

Para calcularmos o impulso verificamos que apenas a componente transversal não fornece um integral nula no tempo. Assim o impulso será dado por

$$\Delta p = - \int_{-\infty}^{\infty} eE(t) dt = - \frac{2e^2}{bv} \quad (A.4)$$

e a energia transferida ao elétron é

$$\Delta E(b) = - \frac{(\Delta p)^2}{2m} = - \frac{2e^4}{mv^2} \left( \frac{1}{b^2} \right) \quad (A.5)$$

O elétron ao atravessar o sólido passa por diversos átomos e portanto a diversos valores de parâmetros de impacto. Vamos supor então que temos N átomos por unidade de volume, com Z elétrons por átomo. O número de elétrons localizados entre b e b+db em uma espessura dx, a qual supomos muito menor que o livre caminho médio de espalhamento elástico, será

$$dn = NZ \pi b^2 db dx \quad (A.6)$$

Para calcularmos a perda de energia por unidade de distância percorrida pela partícula efetuamos a integral

$$\frac{dE}{dx} = - 4\pi NZ \frac{e^2}{mv^2} \int \Delta E(b) b db \quad (A.7)$$

vamos considerar agora os limites de integração escrevendo

$$\frac{dE}{dx} = - 4\pi NZ \frac{e^2}{mv^2} \int_{b_{\min}}^{b_{\max}} \frac{db}{b} = - 4\pi NZ \frac{e^2}{mv^2} \ln \frac{b_{\max}}{b_{\min}} \quad (A.8)$$

é necessário portanto avaliar entre quais limites a equação (A.8) é válida.

Para o limite máximo dizemos que ocorre quando o tempo em que os campos são consideráveis com o período do movimento do elétron, isto é

$$\Delta t(b_{\max}) \sim \frac{1}{\omega}$$

onde

$$b_{\max} = \frac{Yv}{\omega} \quad (A.9)$$

$\omega$  é uma frequência atômica característica.

Para obter o limite mínimo consideramos o princípio de incerteza de Heisenberg

$$\Delta E \Delta t > \frac{\hbar}{2}$$

e novamente usando a equação (A.3) e aproximando

$$\Delta t \sim \frac{\hbar}{2E}$$

temos

$$b_{\min} = \frac{\hbar \gamma v}{2E} \quad (\text{A.10})$$

o que leva finalmente a

$$\frac{dE}{dx} = -2\pi N Z \frac{e^4}{E} \ln \frac{2E}{\hbar \omega} \quad (\text{A.11})$$

que é exatamente a equação de Bethe para a perda de energia num sólido calculada por procedimentos puramente quânticos.

## B - Livre Caminho Médio

Vamos supor um potencial atômico blindado da forma

$$U = -\frac{Ze^2}{r} e^{-r/a} \quad (B.1)$$

A secção de espalhamento dentro da aproximação de Born será [1]

$$d\sigma = 4\pi^2 \left(\frac{Ze^2 ma}{\hbar^2}\right) \frac{d\Omega}{(q^2 a^2 + 1)^2} \quad (B.2)$$

onde  $d\Omega$  é o elemento de ângulo sólido e  $q$  é dado por

$$q = 2k \sin\frac{\theta}{2} \quad (B.3)$$

onde  $k$  é o vetor de onda.

A secção de transporte da qual calcularemos o livre caminho médio é dada por [1]

$$\sigma_{tr} = \int_0^\pi (1 - \cos\theta) d\sigma = \int_0^\pi \frac{q^2}{2k^2} d\sigma \quad (B.4)$$

O elemento de ângulo sólido se escreve em função de  $q$

$$d\Omega = 2\pi \sin\theta d\theta = \frac{2\pi}{k^2} q dq \quad (B.5)$$

de onde obtemos

$$\sigma_{tr} = \frac{\pi}{k^4} \left(\frac{Ze^2 ma}{\hbar^2}\right)^2 \int_0^{2k} \frac{q^3 dq}{(q^2 a^2 + 1)^2} \quad (B.6)$$

fazendo a substituição  $q^2 = x$  temos

$$\sigma_{tr} = \frac{4\pi}{k^4} \left(\frac{Ze^2 ma}{\hbar^2}\right)^2 \int_0^{4k^2} \frac{x dx}{2(xa^2 + 1)^2} \quad (B.7)$$

A integral em (B.7) pode ser resolvida por partes

$$\int_0^{4k^2} \frac{x dx}{(xa^2 + 1)^2} = -\frac{x}{a^2(xa^2 + 1)} \Big|_0^{4k^2} + \int_0^{4k^2} \frac{dx}{a^2(xa^2 + 1)} = -\frac{4k^2}{a^2(4k^2 a^2 + 1)} + \frac{1}{a^4} \ln(4k^2 a^2 + 1)$$

finalmente

$$\sigma_{tr} = \frac{2\pi Z^2 e^4 m^2}{k^4 \hbar^4} \left\{ \frac{(4k^2 a^2 + 1) \ln(4k^2 a^2 + 1) - 4k^2 a^2}{(4k^2 a^2 + 1)} \right\} \quad (B.8)$$

para usarmos a aproximação de Born é feita a hipótese de que

$$ka \gg 1$$

então a equação (B.8) torna-se

$$\sigma_{tr} = \frac{2\pi Z^2 e^4 m^2}{k^4 \hbar^4} \ln(4k^2 a^2 - 1) \quad (B.9)$$

usando ainda a relação

$$k^2 = \frac{2mE}{\hbar^2}$$

temos

$$\sigma_{tr} = \frac{\pi Z^2 e^4}{2 E^2} \left( \ln\left(\frac{8mEa^2}{\hbar^2}\right) - 1 \right) \quad (B.10)$$

Devemos agora avaliar a, colocando-o em termos do raio do átomo no modelo de Thomas-Fermi

$$a = \frac{\hbar^2 Z^{1/3}}{me^2}$$

de onde vem

$$\sigma_{tr} = \frac{\pi Z^2 e^4}{2 E^2} \left( \ln\left(\frac{8Em^2 Z^{2/3}}{e^2}\right) - 1 \right) \quad (B.11)$$

Para avaliarmos o livre caminho médio usamos a relação

$$\lambda_{tr} = \frac{A}{\rho N_a \sigma_{tr}} \quad (B.12)$$

onde A é a massa atômica,  $\rho$  a densidade (em g/cm<sup>3</sup>) e  $N_a$  a constante de Avogadro. Desta forma obtemos

$$\lambda_{tr} = \frac{2AE^2}{\pi Z^2 e^4 N_a \rho} \left( \ln\left(\frac{8Em^2 Z^{2/3}}{e^2}\right) - 1 \right)^{-1} \quad (B.13)$$

substituimos as constantes e convertendo convenientemente as unidades temos, em uma forma prática, o livre caminho médio

$$b13' \quad \lambda_{tr} = 0.5112 \frac{AE^2}{\rho Z} \left( \ln(293EZ^{2/3}) - 1 \right)^{-1} \quad (B.13')$$

que é dado em micron embora a densidade continua mantida nas unidades originais e a energia em keV.

Com o livre caminho médio assim determinado calculamos, para o efeito da simulação Monte Carlo, o livre caminho percorrido como função de uma variável aleatória  $R_1[2]$

$$\lambda(R_1) = -\lambda_{tr} \ln(R_1) \quad (B.14)$$

onde  $R_1$  tem uma distribuição uniforme e o livre caminho percorrido uma distribuição de Poisson.

### C - Ângulo de Espalhamento

Vamos supor uma partícula movendo-se em um campo central  $U$  com uma certa energia cinética  $E$ . É conhecido da mecânica clássica que o ângulo  $\phi_0$  descrito pelo movimento não ligado é [1]

$$\phi_0 = \int_{r_{\min}}^{\infty} \frac{M/r^2 dr}{\sqrt{2m(E-U(r))-M^2/r^2}} \quad (C.1)$$

onde  $M$  é o momento da partícula e usamos a geometria indicada na figura (C.1) onde  $\rho$  é o parâmetro de impacto.

O ângulo de desvio ou de espalhamento estará determinado por

$$\chi = |\pi - 2\phi_0| \quad (C.2)$$

Para efeito de cálculo colocamos o momento em função da energia.

$$M = m\rho\sqrt{2mE} \quad (C.3)$$

Substituindo na equação (C.1) e integrando para um potencial coulombiano

$$U = -\frac{(Ze^2)}{r} \quad (C.4)$$

temos

$$\phi_0 = \arccos \frac{Ze^2/2E\rho}{\sqrt{1+(Ze^2/E\rho)^2}} \quad (C.5)$$

usando a relação (C.2) temos

$$\rho^2 = \frac{Z^2 e^4}{4E^2} \operatorname{ctg}^2 \frac{\theta}{2} \quad (C.6)$$

ou, finalmente

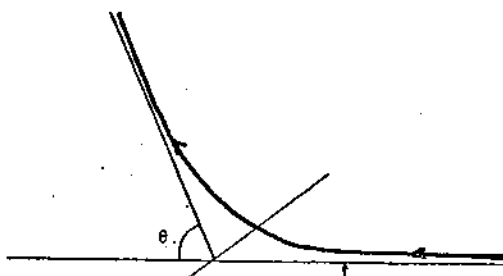


Figura C.1

$$\theta = 2 \operatorname{arctg} \left( \frac{Ze^2}{2\rho E} \right) = 2 \operatorname{arctg} (R_2 b Z / E) \quad (\text{C.7})$$

onde  $R_2$  é uma variável aleatória uniformemente distribuída entre 0 e 1 e  $b$  é um parâmetro ajustável a partir de valores experimentais. Em geral ajusta-se este valor para fornecer os coeficientes de retroespalhamento corretos.

#### D - Coordenadas do elétron em três dimensões

Para calcularmos a posição do elétron após cada espalhamento elástico é necessário ter um sistema de coordenadas sempre atualizado para podermos aplicar o espalhamento Rutherford.

Baseamo-nos aqui praticamente na técnica usada por Myklebust et alii. A idéia chave desta técnica consiste em uma mudança constante do sistema de coordenadas, mantendo, porém, sempre as relações com um sistema de coordenadas definido pela amostra, acompanhando o movimento do elétron. O sistema de coordenadas definido pela amostra é mostrado na figura D.1 .

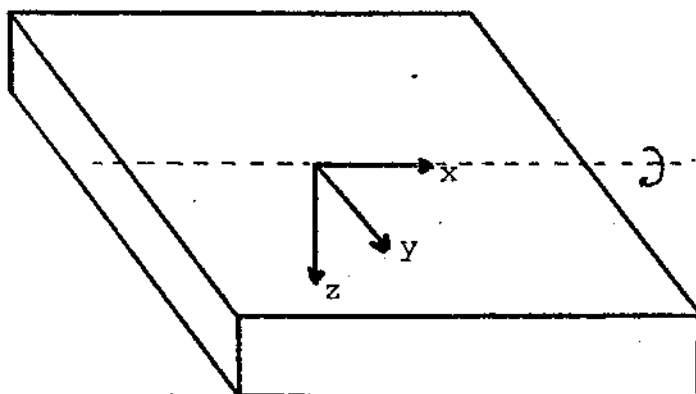


Figura D.1

O objetivo do sistema de coordenadas que acompanha o elétron é manter um eixo z' sempre na direção do movimento para aplicar de forma direta o modelo de espalhamento de Rutherford (vide apêndice C).

Vamos basear o nosso esquema de cálculo na figura D.2.

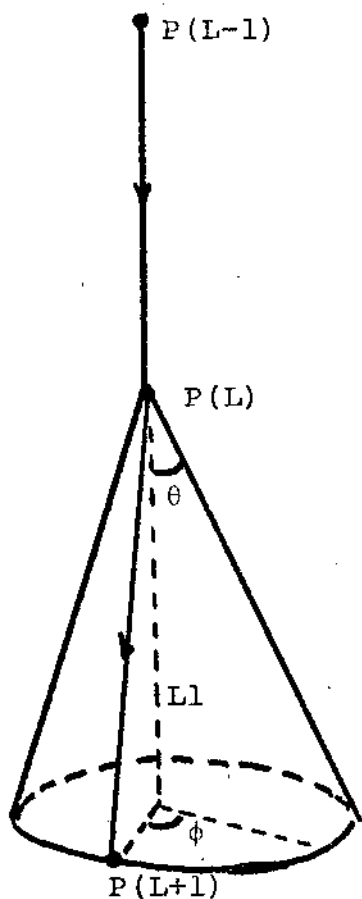


Figura D.2

O elétron vem do ponto  $P(L-1)$  para o ponto  $P(L)$  onde é espalhado por um ângulo  $\theta$  em relação à direção do seu movimento e em um ângulo azimutal e uniformemente distribuído. Os cosenos diretores da reta  $L$  podem ser calculados a partir das coordenadas  $X, Y, Z$  dos pontos  $P(L-1)$ ,  $P(L)$ . Depois de espalhado, o elétron vai para um ponto genérico  $P(L+1)$  no perímetro da base do cone, cuja altura é o comprimento do segmento  $L_1$ .

Para calcular  $P(L+1)$ , calculamos primeiro  $(X_0, Y_0, Z_0)$ , que representa o ponto de intersecção do plano com o segmento  $L_1$ .

Seja  $D(L)$  a distância entre  $P(L)$  a  $P(L+1)$  e a altura do cone  $H$ .  
Então

$$H = D(L) \cos \theta \quad (D.1)$$

o raio da base

$$R = D(L) \sin \theta \quad (D.2)$$

as coordenadas  $(X_0, Y_0, Z_0)$

$$X_0 = X(L) + (Ha) \quad (D.3a)$$

$$Y_0 = Y(L) + (Hb) \quad (D.3b)$$

$$Z_0 = Z(L) + (Hc) \quad (D.3c)$$

Em seguida estabelecemos um novo conjunto de eixos de coordenadas  $(X', Y', Z')$  como na figura D.3, com o plano  $X'Y'$  contendo a base do cone e o eixo  $Z'$  coincidindo com o segmento  $L_1$ .

O eixo  $X$  é escolhido de modo a ser a reta de intersecção do plano da base com o plano  $Y=Y_0$ . Do conhecimento do ponto no plano da base  $(X_0, Y_0, Z_0)$  e dos cosenos diretores da normal ao plano, a equação da base do cone é:

$$aX + bY + cZ - (aX_0 + bY_0 + cZ_0) = 0 \quad (D.4)$$

a reta de intersecção com  $Y=Y_0$

$$aX + cZ - (aX_0 + cZ_0) = 0 \quad (D.5)$$

tem a forma

$$Z = -\frac{a}{c}X + K \quad K = \frac{aX_0}{c} + Z_0 \quad (D.6)$$

e os cosenos diretores de  $X'$ , com respeito aos eixos originais, são:

$$a_{x'} = \cos(\arctg(-a/c)) \quad (D.7a)$$

$$b_{x'} = \cos 90^\circ = 0 \quad (D.7b)$$

$$c_{x'} = \cos(\arctg(-c/a)) \quad (D.7c)$$

Conhecendo os cosenos diretores  $X'$  e  $Z'$ , pode-se obter os cosenos diretores de  $Y'$ .

Para manter o sistema como de "mão direita", faz-se o produto vetorial de forma a obter

$$a_y' = b_z, \quad c_x' \quad (D.8a)$$

$$b_y' = c_z, \quad a_x' = -c_x, \quad a_z' \quad (D.8b)$$

$$c_y' = -a_x, \quad b_z' \quad (D.8c)$$

O ponto P(L+1) é então

$$x' (L+1) = R \cos (R_3 2\pi) \quad (D.9a)$$

$$y' (L+1) = R \sin (R_3 2\pi) \quad (D.9b)$$

$$z' (L+1) = 0 \quad (D.9c)$$

As coordenadas acima podem ser transformadas para o sistema de coordenadas da amostra da forma

$$x = a_x, x' (L+1) + a_y, y' (L+1) + x_0 \quad (D.10a)$$

$$y = b_x, x' (L+1) + b_y, y' (L+1) + y_0 \quad (D.10b)$$

$$z = c_x, x' (L+1) + c_y, y' (L+1) + z_0 \quad (D.10c)$$

## E - Energias de ionização radiativa em semicondutores de "gap" direto

Analizamos neste tópico a produção de pares elétron-buraco como uma dependência do "gap" na banda de energia. Por produção entendemos o montante de pares elétron-buraco produzidos pelo feixe de elétrons primários. Em termos práticos nada se produziu de novo desde o artigo de Klein [1] em 1968. Os processos físicos ainda são mal explicados e têm-se apenas um idéia qualitativa destes. Vamos portanto nos basear completamente no artigo de Klein que é referência ainda usada como sendo a mais fundamental pelos autores que lidam com catodoluminescência.

No artigo de Klein é discutido processo de energia de ionização radiativa para radiações de altas energias em geral. É evidente que vamos nos ater apenas a elétrons de alta energia (que em nosso caso vai até 50 keV). Isto é justificado devido ao fato de que evidências experimentais apontadas por Klein mostram a independência da energia de criação de pares com a natureza da radiação primária.

Vamos definir a energia de ionização radiativa, ou energia de criação de pares, como sendo

$$Q = \frac{W}{e} \quad (E.1)$$

onde  $Q$  é a eficiência quântica de pares por elétron e  $W$  a energia do agente ionizador. Ficando assim estabelecida a proporcionalidade da eficiência quântica com a energia primária. A equação (1) dá portanto a medida da energia média gasta para produzir um par elétron-buraco através de quantidades experimentalmente acessíveis.

Em uma simples consideração teórica cada pár criado é tratado como resultado de um processo elementar que não envolve realmente a física da interação da radiação com o meio. Evidentemente a energia para a criação de um pár deve ser maior que o "gap" do meio, portanto podemos escrever

$$e = E_G + E' \quad (E.2)$$

onde dizemos que  $E'$  é a energia gasta para quaisquer outros propósitos que não a ionização. Especula-se que o processo ocorra em duas etapas: na primeira temos que a energia colocada dentro do sistema cria uma distribuição de não-equilíbrio dos portadores livres ao induzir transições da banda de valência à banda de condução. Esta é uma etapa que é concluída quase imediatamente, mesmo porque é provável que a ionização entre em competição com a geração de fônons. Na segunda etapa ocorre a termalização que é um processo bem mais lento. Temos portanto além das perdas pela ionização que já incluímos na equação (E.2) um perda devida a geração de fônons óticos e devida a termalização que aparece devido ao fato de que a energia residual já não será mais suficiente para gerar outros pares. Fazendo esta pequena contabilidade pode-se chegar a expressão final obtida a partir de considerações empíricas

$$e = \frac{14}{5} E_G + r(h\omega_r) \quad (E.3)$$

onde  $r$  é o número médio de fônons óticos emitidos pela ionização e deve ser tratado neste caso como um parâmetro ajustável.

A figura E.1 mostra a dependência da energia de ionização radiativa com o "gap". Como pode ser visto esta dependência é praticamente linear.

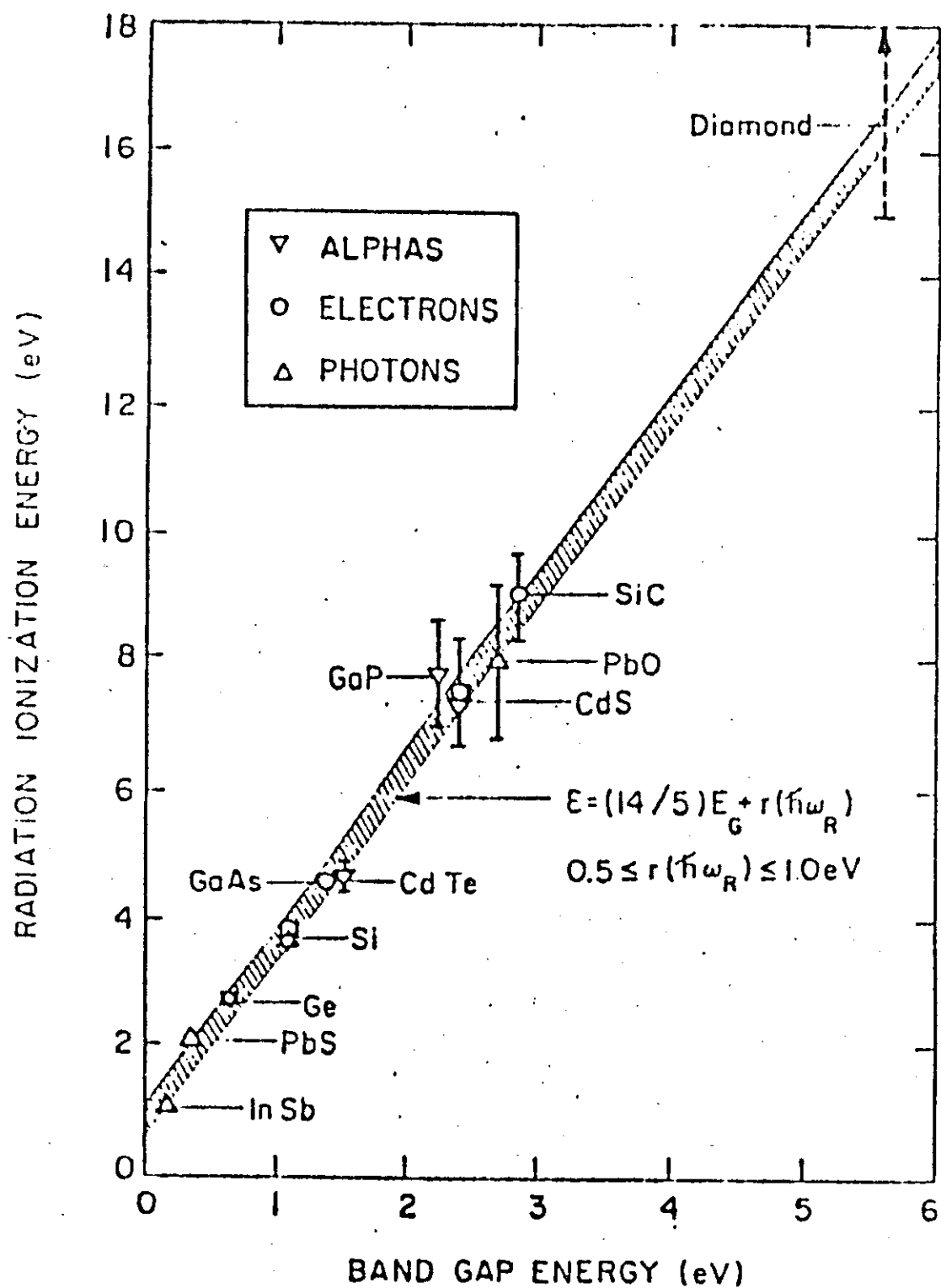


Figura E.1

Energia de ionização radiativa, ou energia média e consumida por produção de par elétron-buraco com função do "gap".

É fácil mostrar que a relação (E.3) é razoável se seguirmos as simples considerações de Bogdánkévitch et alii [2].

Usando as leis de conservação de energia e momento, vamos considerar o caso concreto da transição de um elétron da banda de valência à banda de condução resultante de uma colisão com outro elétron descrito pela reação



onde  $e_1$  representa o elétron primário,  $e_v$  o elétron da banda de valência,  $e'_1$  o elétron difundido,  $e_c$  o elétron na banda de condução e  $p$  o buraco formado na banda de valência.

As leis de conservação de energia e momento podem ser escritas da forma seguinte

$$\begin{aligned} E_{e_1} &= E_{e'_1} + E_{e_c} + E_p + E_G \\ \vec{p}_{e_1} &= \vec{p}_{e'_1} + \vec{p}_{e_c} + \vec{p}_p \end{aligned} \quad (E.5)$$

onde  $E_G$  é o "gap".

Para determinar valor mínimo  $E_{e_1}$  para o qual a reação (E.4) ainda é possível, devemos calcular o extremo da função  $E_{e_1}$  levando em conta a equação (E.5). Pode-se demonstrar que  $E_{e_1}$  toma seu valor mínimo quando

$$\vec{v}_{e_1} = \vec{v}_{e'_1} = \vec{v}_{e_c} = \vec{v}_p \quad (E.6)$$

colocando (E.6) em (E.5) obtemos

$$\frac{mv'^2}{2} = (2m_e + m_p) \frac{v^2}{2} + E_G \quad (E.7)$$

$$mv' = (\sqrt{2m_e + m_p}) \frac{v}{2} + E_G \quad (E.8)$$

Resolvendo este sistema para  $v'$  e  $v$  obtém-se o limiar da energia de excitação

$$E_{et} = E_G \left(1 + \frac{m_e}{m_e + m_p}\right) \quad (E.9)$$

Se a partícula primária for um buraco o limiar da energia será

$$E_{pt} = E_G \left(1 + \frac{m_p}{m_e + m_p}\right) \quad (E.10)$$

Definimos o rendimento por

$$\Omega = \frac{E_G}{\langle E \rangle} \quad (\text{E.11})$$

onde  $\langle E \rangle$  é a energia média requerida para dar lugar a um par elétron-buraco. Seja esta energia média ainda

$$\langle E \rangle = E_G + \langle E_e \rangle + \langle E_p \rangle \quad (\text{E.12})$$

onde

$$\langle E_e \rangle = \frac{\int_0^{\infty} E_e f_e(E) \rho_e(E) dE}{\int_0^{\infty} f_e(E) \rho_e(E) dE} \quad (\text{E.13})$$

e

$$\langle E_p \rangle = \frac{\int_0^{\infty} E_p f_p(E) \rho_p(E) dE}{\int_0^{\infty} f_p(E) \rho_p(E) dE} \quad (\text{E.14})$$

onde  $f_e$  e  $f_p$  são funções de repartição dos elétrons e dos buracos e  $\rho_e$  e  $\rho_p$  são as densidades de estado das bandas.

Como as partículas se concentram sobretudo na proximidade dos extremos das bandas podemos colocar  $\rho$  proporcional a  $E$  e dizemos que

$$\begin{aligned} f(E) &= \text{constante} & \text{para } 0 \leq E \leq E_t \\ f(E) &= 0 & \text{para } E > E_t \end{aligned} \quad (\text{E.15})$$

Calculando desta forma as integrais (E.13) e (E.14) obtemos

$$\langle E_e \rangle = \frac{3}{2} E_{et} \quad \langle E_p \rangle = \frac{3}{5} E_{pt} \quad (\text{E.16})$$

calculando assim a eficiência

$$\Omega = \frac{E_G}{E_G + \frac{3}{2} E_{et} + \frac{3}{5} E_{pt}} = \frac{5}{14} \quad (\text{E.17})$$

ou seja

$$\langle E \rangle = \frac{5}{14} E_G \quad (\text{E.18})$$

o que valida a nossa equação (E.3) obtida a partir de considerações empíricas.

A partir da curva de dissipação de energia (vide cap. 2), podemos obter o valor da energia disponível em um dado volume e calcularmos a produção de pares neste volume, diretamente pela expressão de eficiência quântica dada pela equação (E.11).

Assim sendo é possível atribuir à  $g_0$  (vide capítulo 3, equação 2) o valor obtido para a expressão (E.11) como sendo um valor razoável do número de pares produzidos na região para qual se está aplicando a equação mencionada acima.  
(eq. 2, cap. 3).

## F - Organização dos Programas

A organização geral consiste das quatro etapas seguintes

- 1 - Preparação do arquivo de entrada
- 2 - Execução do programa de simulação
- 3 - Execução de programas suplementares
- 4 - Gráficos

### 1. Preparação do arquivo de entrada

Uma simulação Monte Carlo pode ter uma pesada carga de CPU e que em alguns casos pode passar de dezenas de horas. Obviamente um programa desta natureza não pode ser executado interativamente e os dados de entrada devem ser criteriosamente escolhidos pois um erro pode levar a um desperdício de horas de CPU e além disso, é claro, fornecer resultados inúteis.

Tendo estas considerações em mente foi desenvolvido o programa MONTA que constrói, de forma interativa, o arquivo de entrada para o programa de simulação.

A tarefa do programa MONTA é de criar o arquivo de dados DADOS.DAT no formato adequado à leitura do programa de simulação e de averiguar a coerência dos dados fornecidos pelo usuário.

O programa MONTA se estrutura da maneira seguinte:

- a) Lê o arquivo de DADOS.DAT da simulação anterior
- b) Interroga o usuário sobre modificações a serem feitas em

1. Denominação geral da simulação
  2. Tarefa a serem executadas
  3. Aproximações a serem usadas
  4. Energias do feixe
  5. Angulos de inclinação da amostra
  6. Parâmetros materiais da amostra ( $A, Z, \rho$ ) (vide capítulo 1)
  7. Parâmetros estruturais da amostra (camadas, espessura)
  8. Número de simulações, número de trajetórias, varredura (início, fim e total de pontos)
- c) Verifica se todos os dados são completos e coerentes. Se alguma falta ou incoerência for encontrada o programa aponta o erro e reinicia a sessão
- d) Cria o arquivo DADOS.DAT;+1 e fornece uma estimativa sobre o tempo de CPU necessário.

## 2. A execução do programa de simulação

A execução do programa MICROSSONDA\_32 (Versão 3.2) em geral é feita não-interativamente e como critério para tal pode ser usado a estimativa de CPU em 1.d. A organização deste programa se dá da seguinte forma

- a) Lê o arquivo DADOS.DAT e interpreta as instruções nele contidas. Reserva espaço (abre arquivos) para os dados a serem gerados durante a simulação.
- b) É realizada a simulação propriamente dita pela subrotina ANDAR\_32.

PAS

c) Fecha os arquivos com os dados gerados e edita o relatório HISTORY.DAT:+1 contendo as características da simulação e alguns resultados.

Obs.: Ao executar o programa, é lido o arquivo HISTORY.DAT da simulação anterior. O primeiro número que aparece neste arquivo é o REGISTRO da simulação o qual é incrementado a cada simulação. Todos os arquivos e gráficos referentes a uma certa simulação contém este número.

### 3. Programas suplementares

Os programas suplementares se referem ao modelo de EBIC a ser aplicado usando dados gerados por MICROSSONDA\_32 e contidos em PERFIL.DAT.

Para o caso de uma homojunção perpendicular ao feixe temos o programa EBIC\_2 que, para comprimentos de difusão fixados, calcula a corrente total coletada na junção. O programa ainda varia a profundidade da junção de perto da superfície até uma distância previamente fixada. Este programa requer na ordem de alguns minutos de CPU.

Para o caso de um Laser semicondutor temos o programa EBIC\_LASER que calcula a corrente EBIC para uma dada estrutura de Laser variando o comprimento de difusão fazendo um ajuste com dados experimentais correspondentes. Este programa requer na ordem de minutos de CPU.

### 4. Programas de desenho

DESENHAR\_DEDS

Este programa desenha os perfis de dissipação para uma certa simulação, colocando no mesmo gráfico até dez curvas. Ajusta automaticamente a escala, funciona interativamente.

#### DESENHAR\_GERAL

Tem a mesma função de DESENHAR\_DEDS só que o usuário determina as escalas e as curvas a serem traçadas. É próprio para realçar detalhes nas curvas. Funciona interativamente.

#### DESENHAR\_EBIC

Este programa traça as curvas de EBIC geradas pelo programa EBIC\_2. Pode separar as contribuições das camadas em curvas diferentes ou somá-las. Funciona interativamente.

Para a execução destes programas usamos o VAX-11/780 do Centro de Computação Prof. J.D. Rogers. A linguagem usada é o VAX-11 PASCAL. Chamamos atenção ao fato de que este PASCAL pode recorrer a qualquer subrotina FORTRAN compatível com o VAX-11. Em alguns casos usamos TURBO-PASCAL, compatível com o microcomputador ITAUTEC 7000, principalmente para tarefas mais simples.

```

1 (*@S-*)
2 Program Monta(Input,Output,Dados);
5 Label 1,200,3;
7 Const Tra_Seg=0.117;
9 Type Material=( Retro,Trans,Absorvido,Cilindro,Mat_1,Mat_2,Mat_3,Mat_4,Mat_5,Mat_6,Mat_7,Mat_8,Mat_9,Mat_10,M );
10 Answer=( Atomico,Massa,Densidade,Peb,Nome,Ipaga,At,Ma,De,No);
11 Simnao=(S,N);
13 Var Chave,Sse,Ssr,Sst,Sss,Varredura,Alter,E_A,Random, ,
14 Desenhar_Shape,Desenhar_En,Monitor,Aproximado,
15 Alcance_Sn,Alcance_Des,
16 Leitura,Reinicio,Diagnostico,Desenhar_Cilin,
17 Desenhar_Ebic,Monolog,Reaproveitar,Escl,Term :Boolean;
18 Zt,Dens,Amass,Cap,E :Array[Material] Of Real;
19 Simular,Ai,Tot_Sim,Pontos,R,A2,A3,R2,Trajectoria,
20 Caso,Hora,Minuto,Segundo,Ri :Integer;
21 E inicial,Angulo,Pi,Norma :Array[1..15] Of Real;
22 Amostra :Array[Material] Of Packed Array[1..15] Of Char;
23 S_N :Simnao;
24 Resposta :Answer;
25 Dados :Text;
26 Imat,Jmat,Kmat :Material;
27 Inicio,Fim,Subs,Diametro,Tempo,Precisao_Shape,
28 Profundidade,Prof_Jun,Esp_Jun,Difusao_N,Difusao_P, :Real;
29 Eficiencia,Camada,Substrato :Packed Array[1..40] Of Char;
30 Definicao_1,Definicao_2 :Array[Mat_i..Mat_10] Of Real;
31 Superf
32
33 Procedure Vai(Sn:Boolean);
34 Begin
35 If Not Sn Then Write(' ');
36 End;
37 Procedure Tr;
38 Var I:Integer;
39 Begin
40 For I:=1 To 28 Do Write('xx');
41 Writeln;
42 End;
43 Begin
44 Write('terminal de video ? (s ou n):');Readln(S_N);
45 If S_N=S Then Term:=True Else Term:=False;
46 Write('precisa de esclarecimentos ? (s ou n):');Readln(S_N);
47 If S_N=S Then Escl:=True Else Escl:=False;
48 If Escl Then
49 Begin
50 If Term Then Tr;

```

```

51   writeln(' este e o programa monta criado por g.weber.');
52   writeln(' o objetivo e montar o arquivo de entrada de dados para o programa de monte carlo. ');
53   writeln(' o presente programa fara modificações em um arquivo anterior. ');
54   writeln(' e interrogara interativamente o usuario sobre as modificações a serem realizadas. ');
55   writeln(' esclarecimentos sobre o significado das modificações serão. ');
56   writeln(' dados durante a execução do programa. ');
57   writeln(' quando perguntar "pronto" s (sim) significa continuar nort. ');
58   writeln(' malmente e n (nao) voltara ao começo do programa. ');
59
60 if Term Then Tr;
61 writeln(' pronto ? (s ou n).'); Readln(S_N);
62 if S_N=N Then Goto 3;
63
64 (*Leitura do arquivo da simulação anterior*)
65 3:Open(Dados, 'weber\dados2.dat', Old);
66 Reset(Dados);
67 Readln(Dados, Random, Sse, Ssr, Ssd, Sss);
68 Readln(Dados, Diagnostico, Monitor, Aproximado, ReaprovaLtar, Alcance_Sn);
69 Readln(Dados, Simular, Caso, Leitura);
70 A1:=0;
71 While Leitura Do
72   Begin
73     A1:=A1+1;
74     Read(Dados, Leitura, EInicial[A1], P[A1]);
75     If Sss Then Readln(Dados, Normal[A1], Else Readln(Dados));
76   End;
77 Readln(Dados, Leitura);
78 A2:=0;
79 While Leitura Do
80   Begin
81     A2:=A2+1;
82     Readln(Dados, Leitura, Angulo[A2]);
83   End;
84 For Imat:=Mat_1 To Mat_10 Do
85   Begin
86     Readln(Dados, Leitura, Zt[Imat], Dens[Imat], Amass[Imat], Capt[Imat], Amostra[Imat]);
87     If Not Leitura Then Goto 1
88   End;
89 1: Readln(Dados, Tot_Sim); Readln(Dados, Varredura, Desenhar, Desenhar_En,
90 Desenhar_Shape, Desenhar_Ebic, Monolog, Alcance_Des);
91 If Varredura Then Readln(Dados, Inicio, Fim, Pontos);
92 Readln(Dados, Diametro, Cilin);
93 If Desenhar_Shape Then Readln(Dados, Precisao_Shape, Profundidade);
94 If Caso=2 Then
95   Begin
96     For Jmat:=Mat_1 To Imat Do Readln(Dados, Superf[Jmat]);
97   End;
98 Readln(Dados, Definicao_1);
99 Readln(Dados, Definicao_2);
100 Close(Dados);
100 Alter:=True;

```

```
102 (*Inquirir uma definicao genericas da amostra ou da simulacao)
103 While Alter Do
104   Begin
105     Writeln('definicao genericas da amostra');
106     Writeln;
107     If Term Then Tr;
108     Writeln(Definicao_1);Writeln(Definicao_2);
109     If Term Then Tr;
110     Writeln;
111     Write('muda ? (s ou n):');Readln(S_N);
112     If S=N=S Then
113       Begin
114         Writeln('nova definicao');
115         Writeln('o campo');
116         Writeln('-----');
117         Write('linha 1:');Readln(Definicao_1);
118         Write('linha 2:');Readln(Definicao_2);
119       End;
120     Else Alter:=False;
121   End;
122   Alter:=True;
123 (*Inquirir tipos de atividades a serem exercidas na simulacao)
124 While Alter Do
125   Begin
126     If Term Then Tr;
127     Writeln('sim');
128     Val(Se):Writeln('1:ebic');
129     Val(Sr):Writeln('2:retroespaldados');
130     Val(Sst):Writeln('3:transmitidos');
131     Val(Ssd):Writeln('4:distribucao');
132     Val(Clin):Writeln('5:cilindro');
133     Val(Sss):Writeln('6:perfis de energia');
134     Val(Alcance_Sn):Writeln('7:alcance');
135     If Term Then Tr;
136     Write('0:continuar');
137     Write('opcao:');Readln(R);
138     Case R Of
139       1:Sse:=Not Sse;
140       2:Ssr:=Not Ssr;
141       3:Sst:=Not Sst;
142       4:Ssd:=Not Ssd;
143       5:Clin:=Not Clin;
144       7:Alcance_Sn:=Not Alcance_Sn;
145       6:Sse:=Not Sse;
146       0:Alter:=False;
147     End;
148   End;
149   Alter:=True;
150 (*Inquirir alguns tipos de atividades e caracteristicas da simulacao)
151 While Alter Do
152   Begin
```

```

153 If Term Then Tr:
154   WriteIn('
155   Val(Random):WriteIn('1:random');
156   Val(Varredura):WriteIn('2:varredura');
157   Val(Monitor):WriteIn('3:monitor');
158   Val(Aproximado):WriteIn('4:aproximado');
159   Val(Reaproveitar):WriteIn('5:reaproveitar');
160   If Term Then Tr;
161   WriteIn('0:continuar');
162   Write('opcao:');ReadIn(R);
163 Case R Of
164   1:Random:=Not Random;
165   2:Varredura:=Not Varredura;
166   3:Monitor:=Not Monitor;
167   4:Aproximado:=Not Aproximado;
168   5:Reaproveitar:=Not Reaproveitar;
169   0:Alter:=False;
170 End;
171 End;
172 Alter:=True;
173 {Inquire tipos de desenhos a serem realizados.NOTA:a secao de desenhos foi tirada do programa de simulacao}
174 While Alter Do
175 Begin
176   WriteIn('
177   If Term Then Tr:
178   WriteIn('
179   If Sse Then
180   Begin
181     Val(Desenhar_Ebic);WriteIn('1:ebic');
182     Val(Monolog);WriteIn('2:ebic em monolog');
183   End
184 Else
185   Begin
186     Desenhar_Ebic:=False;
187     Monolog:=False;
188   End;
189   If Ssr Then
190   Begin
191     Val(Desenhar);WriteIn('3:retro angular');
192     Val(Desenhar_En);WriteIn('4:retro angular energia');
193   End
194 Else
195   Begin
196     Desenhar:=False;
197     Desenhar_En:=False;
198   End;
199   If Alcance_Sn Then
200   Begin
201     Val(Alcance_Des);WriteIn('5:alcance');
202   End
203   Else Alcance_Des:=False;

```

```

204 If Sss Then
205 Begin
206   Val(Desenhar_Shape);WriteLn('6:perfil de energia');
207 End;
208 Else Desenhar_Shape:=False;
209   If Term Then Tr;
210   WriteLn('O:continuar');
211   Write('opcao:');Readln(R);
212 Case R Of
213   1:Desenhar_Ebic:=Not Desenhar_Ebic;
214   2:Monolog:=Not Monolog;
215   3:Desenhar:=Not Desenhar;
216   4:Desenhar_En:=Not Desenhar_En;
217   5:Alcance_Des:=Not Alcance_Des;
218   6:Desenhar_Shape:=Not Desenhar_Shape;
219   O:Alter:=False;
220 End;
221 End;
222 Alter:=True;
223 (*Inquire energias de simulacao, no caso de calcular perfis de energia tambem inquire os alcances
224 sob o nome de NORMA para otimizar o espaco na hora da execucao. Obs.: O numero de simulacoes e' dado por
225 ENERGIAS X ANGULOS *)
226 While Alter Do
227 Begin
228   If Term Then Tr;
229   For A3:=1 To A1 Do
230     Begin
231       Write('inicial','A3:2,');EInicial[A3]:=4:1; P1= 'P1[A3]:6:2';
232       If Sss Then WriteLn(' norma= ',Norma[A3]:6:2) Else WriteLn(
233       End;
234   If Term Then Tr;
235   Write('.....nao mudar=0 , caso contrario introduza o indice desejado ');
236   Write('opcao :');Readln(R);
237   If R > 0 Then
238     Begin
239       Write('.....energia :');Readln(EInicial[R]);
240       Write('parametro de impacto :');Readln(R);
241     If Sss Then
242       Begin
243         Write('.....norma :');Readln(Norma[A3]);
244       End;
245     If R > A1 Then A1:=R;
246     If EInicial[R]=0.0 Then A1:=R-1
247   End;
248 Else
249   If R < 0 Then
250   Begin
251     Write('e=');EInicial[-R]:=4:1; P1= 'P1[-R]:6:2, norma = ';
252     Readln(Normal[-R]);
253   End;
254 Else Alter:=False;

```

```

255 End;
256 Alter:=Not Alter;
257 (*Idem do segmento anterior para angulos*)
258 While Alter Do
259 Begin
260 If Term Then Tr;
261 For A3:=1 To A2 Do WriteIn('angulo',A3:2,'j',Angulo[A3]:5:1);
262 If Term Then Tr;
263 WriteIn(' ',nao mudar=0,' ',caso contrario introduza o indice desejado');
264 Write('.....opcao ','');ReadIn(R);
265 If R > 0 Then
266 Begin
267 Write('.....angulo ','');ReadIn(Angulo[R]);
268 If R > A2 Then A2:=R;
269 If Angulo[R] < 0.0 Then A2:=R-1
270 End
271 Else Alter:=Not Alter;
272 End;
273 Alter:=Not Alter;
274 (*Inquire Nome, Numero Atomico, Massa Atomica e Densidade de cada camada*)
275 Kmat:=Mat_1;
276 While Alter Do
277 Begin
278 If Term Then Tr;
279 For Jmat:=Mat_1 To Imat Do
280 WriteIn(Jmat:7,Amostra[Jmat],'z','.',Zt[Jmat]:5:1,'a','.',Amass[Jmat]:6:2,'d','.',Dens[Jmat]:6:2);
281 If Term Then Tr;
282 Write('.....muda ? ','');ReadIn(S_N);
283 If S_N=S Then
284 Begin
285 WriteIn('atomico,maxssa,densidade,pes,noxme ou apaga?');ReadIn(Resposta);
286 If Resposta <> Apaga Then
287 Begin
288 WriteIn('.....atual ','.',Kmat:7);
289 WriteIn(' para permanecer digite m');
290 Write('.....qual ? ','');ReadIn(Hmat);
291 If Hmat <> N Then Jmat:=Hmat Else Jmat:=Kmat;
292 Kmat:=Jmat;
293 If (Resposta <> Nome) And (Resposta <> No) Then
294 Begin
295 WriteIn('novo valor: ','');ReadIn(Subs);
296 End;
297 End;
298 Case Resposta Of
299 Atomico,At:Zt[Jmat]:=Subs;
300 Massa,Ma:Amass[Jmat]:=Subs;
301 Densidade,De:Dens[Jmat]:=Subs;
302 Peb:Gap[Jmat]:=Subs;
303 Nome,No:Begin
304 Write('novo nome: ','');ReadIn(Amostra[Jmat]);
305 Write('z= ','');ReadIn(Zt[Jmat]);

```

```

306   Write('a=');Readln(Amass[Jmat]);
307   Write('dens=');Readln(Dens[Jmat]);
308 End;
309 APBegin
310 Write('ultima linha:');Readln(lmat);
311 Jmat:=lmat;
312 End;
313 If Jmat > lmat Then lmat:=Jmat;
314 End;
315 Alter:=True;
316 Else Alter:=Not Alter;
317 End;
318 Alter:=True;
319 (*Inquire sobre as geometrias de simulacao*)
320 While Alter Do
321 Begin
322   Writeln(' Geometrias ');
323   If Term Then Tr;
324   Writeln(' 1: 5 camadas horizontais ');
325   Writeln(' 2: homogeneo e inclinavel ');
326   Writeln(' 3:duas camadas verticais ');
327   If Term Then Tr;
328   Caso:=Caso-1;
329   Writeln(' Op: permanece ou confirma opcao: ',Caso:2);
330   Caso:=Caso+1;
331   Writeln('opcao:');Readln(R);
332   If R=0 Then Alter:=False Else Caso:=R+1;
333 End;
334 Alter:=Not Alter;
335 While Alter Do
336 Begin
337 Case Caso Of
338   2:Begin
339     If Term Then Tr;
340     For Jmat:=Mat_1 To Mat_10 Do
341       Writeln('Material ',(Ord(Jmat)-3):2,Superf[Jmat]:8:3);
342     If Term Then Tr;
343     Writeln('O.....mudar nada.....');
344     Writeln('opcao:');Readln(R);
345   End;
346   4:Begin
347     If Term Then Tr;
348     Writeln('i:comp. de dif. na primeira camada: ',Diffusao_P:8:3);
349     Writeln('2:comp. de dif. na segunda camada: ',Diffusao_N:8:3);
350     Writeln('3:eficiencia de producao de pares: ',Eficiencia:10:4);
351     If Term Then Tr;
352     Writeln('O.....mudar nada.....');
353     Writeln('opcao:');Readln(R);
354     If R < 0 Then R:=R+20;
355   End;
356   3:Alter:=False;

```

```

357   End;
358   If R=0 Then Alter:=False
359   Else
360     Begin
361       Jmat:=Cilindro;
362       For RI:=1 To R Do Jmat:=Succ(Jmat);
363       Write('Material ',R:2,' :'); Readln(Superf[Jmat]);
364     End;
365   End;
366   Alter:=True;
367   (*Inquire sobre consideracoes gerais de simulacao*)
368   While Alter Do
369     Begin
370       If Term Then Tr;
371       Writeln(' 1:.....varredura:');
372       Writeln(' 2:total de simulacoes ',Tot_Sim:5);
373       Writeln(' 3:.....simular');
374       Writeln(' 4:.....diametro ');
375       Writeln(' 5:.....precisao shape ');
376       Writeln(' 6:.....profundidade ');
377       If Term Then Tr;
378       Writeln(' 0:.....muda nada.....');
379       Writeln(' opcao:'); Readln(R);
380     Case R Of
381       1:Begin
382         If Varredura Then
383           Begin
384             While Alter Do
385               Begin
386                 Writeln(' 1:inicio ',Inicio:6:2);
387                 Writeln(' 2:fim ',Fim:6:2);
388                 Writeln(' 3:pontos ',Pontos:6);
389                 Writeln(' 4:nao mudar ');
390                 Writeln(' opcao:'); Readln(R2);
391               Case R2 Of
392                 1:Begin Write('inicio:'); Readln(Inicio); End;
393                 2:Begin Write('fim:'); Readln(Fim); End;
394                 3:Begin Write('Pontos:'); Readln(Pontos); End;
395                 4:Alter:=False;
396               End;
397             End;
398             Alter:=True;
399           End;
400         End;
401         2:Begin
402           Write('novo valor do total de simulacoes:'); Readln(Tot_Sim);
403         End;
404         3:Begin
405           Write('novo valor de simular:'); Readln(Simular);
406         End;
407       End;

```

```

408 4:Begin
409   Write('novo valor do diametro:');Readln(Diametro);
410 End;
411 5:Begin
412   Write('nova precisao de shape:');Readln(Precisao_Shape);
413 End;
414 6:Begin
415   Write('novo profundidade:');Readln(Profundidade);
416 End;
417 O:Alter:=Not Alter;
418 End;
419 End;
420 ReInicio:=False;
421 (*O segmento que segue analiza os dados fornecidos e as modificações feitas e as rejeita no caso de
422 inconsistência ou omissão. Dependendo do caso simplesmente reinicia a sessão a partir daí*)
423 If Sss Then
424 Begin
425   For A3:=1 To A1 Do
426     Begin
427       If Normal[A3]=0.0 Then
428         Begin
429           Writeln('*** erro ***');
430           Writeln('norma nula');
431           Writeln('*** reinicio !!!');
432           ReInicio:=True;
433         End;
434       End;
435     End;
436   Trajetoria:=Tot_Sim*Simular;
437   If Varredura Then Trajetoria:=Trajetoria*xPontos;
438   If Trajetoria=0 Then
439     Begin
440       Writeln('*** erro ***');Writeln('zero trajetoria');
441       Writeln('*** reinicio');ReInicio:=Not ReInicio;
442     End;
443   If A1=0 Then
444     Begin
445       Writeln('*** erro ***');Writeln('zero energias');
446       Writeln('*** reinicio');
447       If Not ReInicio Then ReInicio:=Not ReInicio;
448     End;
449   Trajetoria:=Trajetoria*A1;
450   If A2=0 Then
451     Begin
452       Writeln('***alerta***');Writeln('nenhum angulo especificado');
453       Readln(S_N);
454       If S_N=S Then
455         Begin
456           Writeln('*** reinicio');
457           ReInicio:=True;
458         End;

```

```

459 End;
460 End;
461 Trajetoria:=TrajetoriaA2;
462 If Varredura Then
463 Begin
464 If Fim=Inicio Then
465 Begin
466 Writeln('*** erro ***'); Writeln('na varredura');
467 Writeln('inicio=fim'); Writeln('*** reinicio');
468 Reinicio:=True;
469 End;
470 If Pontos=0 Then
471 Begin
472 Writeln('*** erro ***'); Writeln('na varredura');
473 Writeln('zero pontos'); Writeln('*** reinicio');
474 Reinicio:=True;
475 End;
476 End;
477 If Cilin And (Diametro=0.0) Then
478 Begin
479 Writeln('*** alerta ***');
480 Writeln('diametro e nulo');
481 Writeln('reiniciar?');
482 Readln(S_N);
483 If S_N=S Then
484 Begin
485 Writeln('*** reinicio');
486 Reinicio:=True;
487 End;
488 End;
489 End;
490 If Caso=2 Then
491 Begin
492 For Jmat:=1 Mat Downto Mat_2 Do
493 Begin
494 If Superf[Jmat]< Superf[Prede(Jmat)] Then Reinicio:=True;
495 End;
496 End;
497 If Reinicio Then Goto 200;
498 Writeln(Trajetoria,' trajetorias a serem simuladas');
499 Tempo:=1.0;
500 (*Estimativa do tempo de processamento previsto. NOTA: Esta secao nao se encontra atualizada*)
501 If Random Then Tempo:=1.0*Tempo;
502 If Sse Then Tempo:=1.0*Tempo;
503 If Ssr Then Tempo:=1.0*Tempo;
504 If Sst Then Tempo:=1.0*Tempo;
505 If Ssd Then Tempo:=1.0*Tempo;
506 If Diagnostico Then Tempo:=1.0*Tempo;
507 If Desenhar Then Tempo:=1.0*Tempo;
508 Tempo:=TempoA1*A2*Tra_Seq*Simular;
509 If Varredura Then Tempo:=Pontos*Tempo;

```

```

510 (*Edicao do novo arquivo de dados*)
511 Open(Dados,'fweber\dados2.dat',New);
512 Rewrite(Dados);
513 Writeln(Dados,Random,Sse,Ssr,Sst,Ssd,Sss);
514 Writeln(Dados,Diagnostico,Monitor,Aproximado,Reaproveitar,Alcance_Sn);
515 Leitura:=A1 > 0;
516 Writeln(Dados,Simular,Caso,Leitura);
517 For A3:=1 To A1 Do
518 Begin
519 Leitura:=A3 <> A1;
520 Write(Dados,Leitura,Inicial[A3]:10:2,P[A3]:10:2);
521 If Sss Then Writeln(Dados,Norma[A3]); Else Writeln(Dados);
522 End;
523 Leitura:=A2 > 0;
524 Writeln(Dados,Leitura);
525 If Leitura Then
526 Begin
527 For A3:=1 To A2 Do
528 Begin
529 Leitura:=A3 <> A2;
530 Writeln(Dados,Leitura,Angulo[A3]);
531 End;
532 For Jmat:=Mat_1 To Imat Do
533 Begin
534 Leitura :=Jmat <> Imat;
535 Writeln(Dados,Leitura,Zt[Jmat]:10:2,Dens[Jmat]:10:3,
536 Amass[Jmat]:10:3,Cap[Jmat]:10:3,Tot_Sim);
537 End;
538 Writeln(Dados,Tot_Sim);
539 Writeln(Dados,Varredura,Desenhar,Desenhar_Shape,Desenhar_Ebic,Monolog,Alcance_Des);
540 If Varredura Then Writeln(Dados,Inicio,Fim,Pontos);
541 Writeln(Dados,Diametro,Cilin);
542 If Desenhar_Shape Then Writeln(Dados,Precisao_Shape,Profundidade);
543 If Caso=2 Then
544 Begin
545 For Jmat:=Mat_1 To Imat Do Writeln(Dados,Superf[Jmat]);
546 End;
547 Writeln(Dados,Definicao_1);
548 Writeln(Dados,Definicao_2);
549 Close(Dados);
550 If Monitor Then
551 Begin
552 For A3:=1 To 60 Do Write('*');Writeln;
553 For A3:=1 To 15 Do Write('---');Writeln;
554 Writeln('monitor alocando');
555 For A3:=1 To 30 Do Write('**');Writeln;
556 End;
557 If Reaproveitar Then
558 Begin
559 For A3:=1 To 15 Do Writeln;
560 Writeln('reaproveitamento');

```

```
561  For A3:=1 To 15 Do Write('---');writeln;
562  End
563  Else
564    Begin
565      Hora:=Round(Tempo) Div 3600;
566      Tempo:=Tempo-Hora*3600;
567      Minuto:=Round((Tempo) Div 60;
568      Tempo:=Tempo-Minuto*60;
569      Segundo:=Round(Tempo-Minuto);
570      Write('tempo de cpu ');
571      If Hora > 0 Then Write(Hora:3,' horas ');
572      If Minuto > 0 Then Write(Minuto:2,' minutos ');
573      If Segundo > 0 Then Write('0 ',Segundo:2,' segundos ');
574      Write(' estimado');
575    End;
576  End.
```

```
1 (*$S-*)
2 Program Monte_Carlo(Output,Ebic,Retro,Dados,Historia,Dissipar);
3 Label 1;
4
5 (*Definicao dos tipos de variaveis *)
6 Types;
7 Decisao =Record
8   Ebic,Retro,Trans,Dist,Cilin,Shape :Boolean;
9   End;
10 Especial =Real;
11 Material =Absorvido,Retros,Mat_1,Mat_2,Mat_3,Mat_4,Mat_5,Mat_6,Mat_7,Mat_8,Mat_9,Mat_10;
12 Umdez =Array[1..10] Of Real;
13 Difmat =Array[Mat_1..Mat_10] Of Real;
14 Difmat2 =Array[Retros..Mat_10] Of Real;
15 F103 =Record
16   E,P:Real;
17   End;
18 Zeroem =Array[1..100] Of Real;
19 Estatistica =Record
20   SImnao :Decisao;
21   Perfil :Record
22     Z :Array[0..1000] Of Real;
23     Alcance,Profundidade :Real;
24   End;
25 Retro_Angulo,Trans_Angulo,Retro_Energia,Trans_Energia :Record
26   A,B :Array[-100..100] Of Real
27   End;
28 Energia,Angulo,Pi :Undez;
29 Retro_Coeff,Trans_Coeff,Sa,Sb,Retro_Coeff_En :Array[1..10,1..10] Of Real;
30 A1,A2 :Integer;
31 End;
32 F101 =Record
33   Medio,Max:Real;
34   End;
35 F102 =Array[1..10] Of F101;
36 F104 =Packed Array[1..40] Of Char;
37 Umtrezentos =Array[1..1000] Of Real;
38 Zerotrezentos=Array[0..1000] Of Real;
39 F100 =Array[1..10,1..50] Of Real;
40 Porta =Text;
41 Nomes =Array[Material] Of Packed Array[1..15] Of Char;
42
43 (*Declaração das variáveis usadas no programa *)
44 Var
45 Saída :Estatistica;
46 Zt,Dens,Pm,Cof,Cof3,Cof4,Cof5,Amass,Gap :Difmat;
47 Superf :Difmat2;
48 Lcm,Epre :Zerotrezentos;
49 Random,Leitura,Varredura,Caminho,Desenhar,
50 Alcance_Sn,Alcance_Des,Monitor,Aproximado;
```

```

51 Desenhar_Ebic,Monolog,Reaproveitar,
52 Parada,Diagnostico,Desenhar_Shape,Desenhar_En
53 Imat,Jmat
54 11,12,Stop,Simular,A1,A2,Tot_Sim,Pontos,
55 Total_Stop,Sim_1,Sim_2,Sim_3,Sim_4,Kout,
56 A3,A4,A5,Registro,Caso,Contar,N_Alcance
57 Inicio,Fim,Xi,Yi,Zi,Sds,Plim,Del_Var,Diametro,
58 Precisao_Shape,Eficiencia,Fr,Dpasso,Passo
59 Dados,Ebic,Retro,Historia,
60 Dissipar
61 Amostra
62 Dia,Hora
63 Corrente_Ebic
64 Alcance
65 Definicao_1,Definicao_2
66 Norma

68 (*Funcao de Gracao de numeros aleatorios. E usada uma funcao intrinseca do fortran que se localiza em RAN.FOR*)
69 Procedure Alea(Var I1,I2:Integer;Var R:Real):Fortran;

71 (*Funcoes aritmeticas nao suportadas Intrinsecamente por VAX-11 PASCAL*)
72 Function MthsAlog10(Digit:Real):Real;Extern;
73 Function MthsAcos(Angle:Real):Real;Extern;

75 (*Inclusao da subrotina contida em ANDAR_32.PAS*)
76 *include 'andar_32.pas/list';

78 (*Funcao que calcula o Potencial medio de ionizacao em funcao do numero atomico*)
79 Function Potencial(Z:Real):Real;
80 Begin
81 Potencial:=Z*(14.0*(1.0-Exp(-0.1*Z))+75.5/Z**2*(Z/7.5)-Z/(100.0+Z))/1000.0
82 End;

84 Begin
85 (*Leitura do arquivo DADOS2.DAT que contem os parametros da simulacao*)
86 Open(Dados,'weber\Dados2.dat';Old);
87 Reset(Dados);
88 Read(Dados,Random,Salida.Simnao.Retro,Salida.Simnao.Trans,Salida.Simnao.Dist,Salida.Simnao.Shape);
89 Readln(Dados,Diagnostico,Monitor,Aproximado,Reaproveitar,Alcance_Sn);
90 Readln(Dados,Simular,Caso,Leitura);
91 A1:=0;
92 While Leitura Do
93 Begin
94 A1:=A1+1;
95 Read(Dados,Leitura,Salida.Energia[A1],Salida.Pt[A1]);
96 If Salida.Simnao.Shape Then
97 Begin
98 Readln(Dados,Normal[A1]);
99 Normal[A1]:=1000/Normal[A1];
100 End;
101 End;

```

```
102 Readln(Dados,Leitura);
103 A2:=0;
104 While Leitura Do
105 Begin
106   A2:=A2+1;
107   Readln(Dados,Leitura,Saida.Angulo[A2]);
108 End;
109 For Iimat:=Mat_1 To Mat_10 Do
110 Begin
111   Readln(Dados,Leitura,Zt[Iimat],Dens[Iimat],Amass[Iimat],Gap[Iimat],Amostra[Iimat]);
112   If Not Leitura Then Goto 1;
113 End;
114 1:For Jmat:=Mat_1 To Iimat Do
115 Begin
116   Pm1[Jmat]:=Potencial(Zt[Jmat]);
117   Cof1[Jmat]:=7.85*Zt[Jmat]/Amass[Jmat]*Dens[Jmat];
118   Cof2[Jmat]:=1.666/Pm1[Jmat];
119   Cof3[Jmat]:=51.0*Amass[Jmat]/(Sqr(Zt[Jmat])*Dens[Jmat]*100.0);
120   Cof4[Jmat]:=Ln((294.0*Zt[Jmat])*xx(-0.6666))-1.0;
121   Cof5[Jmat]:=1.03*Pm1[Jmat];
122 End;
123 Readln(Dados,Tot_Sim);
124 Readln(Dados,Varredura,Desenhar_Desenhar_Ebicc,Monolog,Alcance_Des);
125 If Varredura Then
126 Begin
127   Readln(Dados,Inicio,Fim,Pontos);
128   Del_Var:=(Abs(Fim)+Abs(Inicio))/Pontos;
129 End;
130 Caminho:=(Iimat > Mat_1) Or (Saida.Simao.Shape);
131 Readln(Dados,Diametro,Saida.Simao.Cilin);
132 If Desenhar_Shape Then Readln(Dados,Prec,sao_Shape,Saida.Perfil.Profundidade);
133 If Caso=2 Then
134 Begin
135 For Jmat:=Mat_1 To Iimat Do
136   Begin
137     Readln(Dados,Superf[Iimat]);
138   End;
139 End;
140 Superf[Retros]:=0.0;
141 Readln(Dados,Definicao_1);
142 Readln(Dados,Definicao_2);
143 Close(Dados);
144 (*Fim da leitura de DADOS2.DAT *)
145 (*Leitura do numero de registro da simulacao anterior *)
146 Open(Historia,'WeberHistory.dat',Old);Reset(Historia);
147 Readln(Historia,Registro);Close(Historia);
148 Registro:=Registro+1;
149 Contar:=0;
150 Contar:=0;
151 (*Inicio da simulaçao *)
```

```

153 For Sim_1:=1 To Tot_Sim Do
154   Begin
155     If Saída.Simnao.Shape Then
156       (*Abertura do arquivo PERIL.DAT que contera' a energia dissipada em funcao da profundidade*)
157       Open(Dissipar,'(weber)perfil.dat',New);
158       Rewrite(Dissipar);
159       Writeln(Dissipar,Registro);
160       Writeln(Dissipar,Definicao_1);
161       Writeln(Dissipar,Definicao_2);
162       Writeln(Dissipar,Superf[Mat_1],Superf[Mat_2],Superf[Mat_3],Superf[Mat_4],
163       Superf[Mat_5]);
164       Writeln(Dissipar,Superf[Mat_6],Superf[Mat_7],Superf[Mat_8],Superf[Mat_9],
165       Superf[Mat_10]);
166     End;
167
168   If Saída.Simnao.Retro Then
169     Begin
170       Open(Retro,'(weber)retro.dat',New);
171       Rewrite(Retro);
172     End;
173   For Sim_2:=1 To A1 Do
174     Begin
175       For Sim_3:=1 To A2 Do
176         Begin
177           If Pontos=0 Then Pontos:=1;
178           For Sim_4:=1 To Pontos Do
179             Begin
180               If Varredura Then X1:=Del_VarxSim_4+Inicio
181               Else X1:=0.0;
182               Y1:=0.0;Z1:=0.0;
183               Saída.A1:=Sim_2;
184               Saída.A2:=Sim_3;
185
186             (*A simulacao propriamente dita e feita pela subrotina ANDAR contida em ANDAR_32.PAS*)
187             Andar(Zt,Dens,Pml,Cof,Cof2,Cof3,Cof4,Cof5,Amass,Alcance[Sim_2],N_Alcance,11,12,Simular,Caso,X1,Y1,Z1,Diametro,
188             Random,Caminho,Diagnóstico,Monitor,Aproximado,Saída,Norma,Superf);
189
190             (*Availilacao dos coeficientes de retroespalhamento*)
191             Saída.Retro_Coef_En[Sim_2,Sim_3]:=Saída.Retro_Coef*(Simular*Saída.Energia[Sim_2]);
192             Alcance[Sim_2].Max:=Sqr(Abs(Alcance[Sim_2].Max)-Sqr(Alcance[Sim_2].Medio)/(Simular*(Simular-1)));
193             Alcance[Sim_2].Medio:=Alcance[Sim_2].Medio/Simular;
194             Alcance[Sim_2].Max:=Alcance[Sim_2].Max+Alcance[Sim_2].Medio;
195             Saída.Retro_Coef[Sim_2,Sim_3]:=Saída.Retro_Coef*(Sim_2,Sim_3)/Simular;
196             Saída.Trans_Coef[Sim_2,Sim_3]:=Saída.Trans_Coef*(Sim_2,Sim_3)/Simular;
197             If Saída.Simnao.Shape Then
198               Begin
199                 (*Transcricao do perfil de energia dissipada obtido*)
200                 Writeln(Dissipar,Saída.Energia[Sim_2],Saída.Angulo[Sim_3],Normal[Sim_2]);
201                 For A5:=0 To 1000 Do
202                   Begin
203                     Saída.Perfil.Z[A5]:=Saída.Perfil.Z[A5]*1000/Simular;

```

```

204 Write(Dissipar,Saida.Perfil.Z[A5]);
205 if (A5 Div 5)*5=A5 Then Writeln(Dissipar);
206 Saida.Perfil.Z[A5]:=0.0;
207 End;
208 End;
209 End;
210 End;
211 End;
212 If Saida.Simnao.Shape Then Close(Dissipar);
213 If Saida.Simnao.Retro Then Close(Retro);
214 End;
215 (*Fim da simulacao *)
216
217 (*Elaboracao do relatorio da simulacao no arquivo HISTORY.DAT *)
218 Open(Historia,'WeberHistory.dat',New);Rewrite(Historia);
219 Writeln(Historia,Registro);
220 Date(Dia);Time(Hora);
221 Writeln(Historia,'* m 1 c r o s s o n d 3 - versao 3.2 - CCV\X2 *');
222 Writeln(Historia,'simulacao realizada em ',Dia);
223 Writeln(Historia,'as ',Hora);
224 Writeln(Historia,Definicao_1);
225 Writeln(Historia,Definicao_2);
226 For Jmat:=Mat_1 To Imat Do
227 Begin
228 Write(Historia,'material['',Jmat:6,''],Amostra[Jmat]);
229 Write(Historia,'z= ',Zt[Jmat]:5:1,' dens= ',DenstJmat:5:2,' massa= ',Amass[Jmat]:5:1);
230 Write(Historia,'pm1= ',Pm1[Jmat],' cof1= ',Cof1[Jmat],', cof2= ',Cof2[Jmat]);
231 End;
232 For A3:=1 To A1 Do
233 Begin
234 Write(Historia,'energia['',A3:2,''], 'Saida.Energia[A3]:6:2,' pi: ',Saida.Pi[A3]:6:2);
235 If Saida.Simnao.Shape Then Writeln(Historia,' norma= ',NormaA3:6:2) Else Writeln(Historia);
236 Writeln(Historia,
237 For A3:=1 To A2 Do Writeln(Historia,'angulo[',A3:2,'],',Saida.Angulo[A3]:6:2);
238 For A3:=1 To A1 Do
239 Begin
240 For A4:=1 To A2 Do
241 Begin
242 Writeln(Historia,'es ',Saida.Energia[A3]:6:2,' pi=',Saida.Pi[A3]:6:2,' a= ',Saida.Angulo[A4]:6:2,' r= ',Saida.Retro_Coef
243 A3,A4]:6:4,' re= ',Saida.Retro_Coef_Ent[A3,A4]:6:4,' t= ',Saida.Trans_Coef[A3,A4]:6:4);
244 If Saida.Simnao.Retro Then Writeln(Historia,' sb= ',Saida.Sb[A3,A4]);
245 End;
246 End;
247 Writeln(Historia,'trajetorias simuladas : ',Simular);
248 If Diametro > 0.0 Then Writeln(Historia,' diametro : ',Diametro);
249 If Varredura Then
250 Begin
251 Writeln(Historia,'varredura realizada de ',Pontos:6,' Pontos');
252 Writeln(Historia,'inicio: ',Inicio:6:2,' fim: ',Fim:6:2);
253 End;
254 Writeln(Historia,' geometria ');

```

```
255 Case Caso Of
256 2:Writeln(Historia,'5 camadas horizontais');
257 3:Writeln(Historia,'amostra homogenea inclinavel');
258 4:Writeln(Historia,'2 camadas verticais');
259 End;
260 Writeln(Historia,'Camadas');
261 For Jmat:=Mat_1 To Imat Do
262 Writeln(Historia,'material',Ord(Jmat):2,Superf[Jmat]);
263 If Saída.Simnao.Retro Then Writeln(Historia,'retro realizado');
264 If Saída.Simnao.Shape Then Writeln(Historia,'perfil de energia em z da amostra realizada');
265 If Aproximado Then Writeln(Historia,'executado com proximacao no livre caminho medio');
266 Writeln(Historia,'* microscopio da - versao 3.2- CCVAX2 *');
267 Close(Historia);
268 End;
```

```

1 Procedure Andar( Zt,Dens,Pm1,Cof,Cof2,Cof3,
2           Cof4,Cof5,Amass :Difmat;
3           Var Alcance   :F1O1;
4           Var N_Alcance :Integer;
5           Var I1,I2,Simular,Caso
6           X1,Y1,Z1,Diametro :Integer;
7           Random,Caminho,Diagnostico :Real;
8           Monitor,Aproximado :Boolean;
9           Var Saída      :Estatistica;
10          Norma        :Undez;
11          Superf       :Difmat2);
12
13 Label 2;
14
15 Var
16   X_O,X_AX,D,Y_O,Y_A,Y_D,Z_O,Z_A,Z_D,X_I,Y_I,Z_I, :Real;
17   Long_I,E_I                                         :Integer;
18   I,J,Indice
19   H,Rn2,Rn3,Ltr,Max,Long,A1,Beta,D1,XO,YO,ZO,A,B, :Material;
20   C,Ax1,Cx1,Bx1,Ay1,By1,Cy1,T1,Sds,En,Ce,Ea,Ec,Pk, :Material;
21   R,X1,Y1,Z1,Abc,Amax,Senoa,Cossenoa,L,Rad,         :Real;
22   Local,Local_1,Local_2                           :Material;
23   Umleit                                         :Difmat;
24
25 (*Subrotina recursiva que determina a passagem de uma camada de material a outra e calcula as intersecoes entre
26 as interfaces, bem como a energia dissipada em cada camada. NAO ESTA ATIVADA !*) :
27 Procedure Camadas( Var Local,Local_1             :Material;
28                     Var X_A,Y_A,Z_A,En,E_I,A,B,C :Real;
29                     Var Cof,Cof2,Cof5           :Difmat;
30                     Var Superf                :Difmat2);
31
32 Var E_2,Long,X_I,Y_I,Z_I,T,                         :Real;
33           Local_2                                         :Material;
34
35 Begin
36   If Local_1 > Local Then Local_2:=Succ(Local) Else Local_2:=Pred(Local); E_2:=0.0;
37   If Local_2 > Retros Then
38     T:=(Z_A-Superf[Local_21])/C;
39     X_I:=X_A+A*T;
40     Y_I:=Y_A+B*T;
41     Z_I:=Superf[Local_21];
42     Long:=Sqr((X_I-X_A)+Sqr(Y_I-Y_A)+Sqr(Z_I-Z_A));
43     E_1:=En-Cof[Local_2]*Long*Ln(Cof2[Local_2]*En);
44     If (Local_1 <> Local_2) And (E_1 > Cof5[Local_2]) Then
45       Camadas(Local_2,Local_1,X_A,Y_A,Z_A,E_I,E_2,A,B,C,Cof,Cof2,Cof5,Superf);
46     X_A:=X_I; Y_A:=Y_I; Z_A:=Z_I;
47     En:=En-E_1-E_2; If En < Cof5[Local_1] Then Local_1:=Absorvido;
48     Local:=Local_1;
49 End;
50

```

```

51   End;
52   Begin
53     Seno:=Sin(0.01745*Saída.A2);
54     Cosseno:=Cos(0.01745*Saída.A2);
55     X_0:=X_1; Y_0:=Y_1; Z_0:=Z_1;
56     (*Esta seccao determina o local inicial em que o eletron se encontrara*)
57     Case Caso Of
58       2:Begin
59         Local_1:=Retros;
60         Local_1:=Retros;
61         While Z_0 >= Superf[Local_1] Do Local_1:=Succ(Local_1);
62       End;
63     End;
64     Rad:=Saída.Angulo[Saída.A2]*0.01745;
65     L:=X_0*Sin(Rad)/Cos(Rad);
66     If Z_0 < -L Then Local_1:=Retros Else Local_1:=Mat_1;
67   End;
68   4:Begin
69     If Z_0 < 0.0 Then Local_1:=Retros Else If X_0 < 0.0 Then Local_1:=Mat_1 Else Local_1:=Mat_2;
70   End;
71   End;
72   (*Aqui inicia a simulacao ate o numero [Simular] de trajetorias *)
73   For I:=1 To Simular Do
74     Begin
75       A:=0.0;B:=0.0;C:=1.0;
76       En:=Saída.Energia[Saída.A1];Co:=Saída.Pt[Saída.A1];
77       Sds:=0.0;
78       Anax:=0.0;
79       X_A:=X_0; Y_A:=Y_0; Z_A:=Z_0;
80       Local:=Local_1;
81       Anax:=0.0;
82       (*O procedimento e' repetido ate o eletron ser absorvido ou retroespalhado*)
83     Repeat
84       Alea(I1,I2,A1);
85       If A1=0.0 Then A1:=0.001; (*O numero aleatorio nao pode ser nulo*)
86       Beta:=2.0*ArcTan(Ce*(1.0/Sqr(A1))/En); (*Calculo do angulo de espalhamento*)
87       Ltr:=Sqr(En)*Cof3[Local]/(Ln(En)+Cof4[Local]); (*Calculo do livre caminho medio*)
88       Alea(I1,I2,Rn3); (*Gera numero aleatorio para o livre caminho medio*)
89       If Rn3=0.0 Then Rn3:=0.001;
90       D1:=-Ltr*Ln(Rn3); (*Calcula o livre caminho percorrido*)
91       If D1=0.0 Then D1:=0.0001; (*O livre caminho percorrido nao pode ser nulo*)
92       (*Para esta seccao vide o calculo das trajetorias em 3 dimensoes*)
93       H:=D1*Cos(Beta); R:=D1*Sin(Beta);
94       X0:=X_A+H*xA; Y0:=Y_A+H*yA; Z0:=Z_A+H*zC;
95       If C=0.0 Then Ax1:=0.0 Else Ax1:=Cos(Arctan(-A/C));
96       Cx1:=Sqr(1.0-Sqr(Ax1));
97       Ex1:=0.0;
98       Ay1:=Bx*x1;By1:=Cx*x1-Cx*x1;Cy1:=-Ax*x1*B;
99       Abc:=Sqr(Sqr(Ay1)+Sqr(By1))+Sqr(Cy1);
100      If Not ((Abc < 1.1) And (Abc > 0.9)) Then

```

```

1 Program Ebic(Dados,Result);
2   Var Corr_Ai,Corr_AO,Corr_B,Corr_C
3     Mud_a
4       Dados,Result
5       Registro,I,J
6       Pos,X,Ai,AO,B,C,
7       Norma,Energia,Angulo
8       Define_1,Define_2,Arquivo_1,Arquivo_2
9       Superf
10      Funcao
11      Begin
12        (*Leitura do arquivo EBIC.INT.DAT que fornece as diretrizes*)
13        Open(Dados,'Ebic.Int.dat','Old'); Reset(Dados);
14        Readln(Dados,Arquivo_1); Readln(Dados,Arquivo_2); Close(Dados);
15        Open(Dados,Arquivo_1,'Old'); Reset(Dados); (*Abre arquivo com os dados*)
16        Open(Dados,Arquivo_2,'New'); Rewrite(Result); (*Abre arquivo para os resultados*)
17        Readln(Dados,Registro); Readln(Dados,Define_1); WriteLn(Registro); (*Abre arquivo para os resultados*)
18        WriteLn(Result,Registro); WriteLn(Result,Define_1); Readln(Dados,Define_2);
19        Readln(Dados,Superf[1],Superf[2],Superf[3],Superf[4],Superf[5]);
20        Readln(Dados,Superf[6],Superf[7],Superf[8],Superf[9],Superf[10]);
21        WriteLn(Result,Superf[1],Superf[2],Superf[3],Superf[4],Superf[5],
22        Superf[6],Superf[7],Superf[8],Superf[9],Superf[10]);
23        While Not Eof(Dados) Do
24        Begin
25          Readln(Dados,Energia,Angulo,Norma);
26          WriteLn(Result,Energia,Angulo,Norma);
27          Norma:=1.0/Norma;
28          For I:=0 To 1000 Do Read(Dados,Funcao[I]);
29          (*Inicia o calculo, como uma convolucao, das correntes de ebic*)
30          For I:=0 To 1000 Do
31            Begin
32              For J:=1 To 10 Do
33                Begin
34                  C:=Exp(-Superf[21]/J);
35                  Ai:=1/C-C;
36                  AO:=1/C+C;
37                  B:=1/C-Exp(-3*Superf[21]/J);
38                  X:=Normax;
39                  If X < Superf[1] Then
40                    Begin
41                      (*Correntes na primeira camada, de cima para baixo. Obs.: Ultima camada crescia*)
42                      Corr_Ai[J]:=Corr_Ai[J]+Funcao[I]*((Exp(X/J)-Exp(-X/J))/Ai); (*Corrente para recombinacao superficial infinita*)
43                      Corr_AO[J]:=Corr_AO[J]+Funcao[I]*((Exp(X/J)+Exp(-X/J))/AO); (*Corrente para recombinacao superficial nula*)
44                    End
45                  Else
46                    Begin
47                      If X < Superf[2] Then
48                        Begin
49                          (*Corrente da camada confinante*)
50                          Corr_BT[J]:=Corr_BT[J]+Funcao[I]*((Exp(X/J)-Exp(-(2*Superf[2]+X)/J))/B;

```

```

102 Begin
103   Cx1:=-Cx1;
104   By1:=CxAx1-Cx1xA;
105 End;
106 Alea(11,12,Rn3); (*Gera o numero aleatorio para o angulo radial de espalhamento*)
107 T1:=Rn3*6.28314;
108 X1:=RxCos(T1);Y1:=RxSin(T1);Z1:=0.0;
109 X_D:=Ax1*X1+Ay1*Y1+X0; Y_D:=Bx1*X1+By1*Y1+Y0; Z_D:=Cx1*X1+Cy1*Y1+Z0;
110 Long:=Sqr((X_D-X_A)+Sqr(Y_D-Y_A)+Sqr(Z_D-Z_A)); (*Caminho efetivamente percorrido*)
111 If Long=0.0 Then Long:=0.0001; (*O caminho efetivamente percorrido nao pode ser nulo*)
112 If Z_D > Amax Then Amax:=Z_D;
113 A:=(X_D-X_A)/Long; B:=(Y_D-Y_A)/Long; C:=(Z_D-Z_A)/Long; (*Calcula os novos cosenos diretores*)
114 Sds:=Sds+Long;
115 (*O segmento a seguir verifica a localizacao em termos das camadas ou o "status" de retroespalhado*)
116 Case Caso Of
117   2:Begin
118     Local_2:=Retros;
119     While Z_D >= Superf[Local_2]:=Succ(Local_2):E_1:=0.0;
120     (* If (Local_2 <> Local) And (Local_2 > Retros) Then
121       Camadas[Local],Local_2,X_A,Y_A,Z_A,En,E_1,A,B,C,Cof,Cof2,Cof5,Superf);*)
122     Local :=Local_2;
123   End;
124   3:Begin
125     Rad:=Saída.Angulo[Saída.A21]*0.01745;
126     L:=X_D*Sin(Rad)/Cos(Rad);
127     If Z_D < -L Then Local:=Retros Else Local:=Mat_1;
128   End;
129   4:Begin
130     If Z_D < 0.0 Then Local:=Retros Else If X_D < 0.0 Then Local:=Mat_1 Else Local:=Mat_2;
131   End;
132   133 If (Local=Retros) Or (Local=Absorvido) Then Goto 2;
134   If Aproximado Then
135     Begin
136       If Ltr < 0.001 Then
137         Begin
138           Ec:=En;
139           En:=0.0;
140           Local:=Absorvido;
141           Goto 2;
142         End;
143       Ea:=En-Cof[Local]*Long*Ln(Cof2[Local])*En; (*Calculo da nova energia do electron*)
144       Ec:=En-Ea+E_1; En:=Ea;
145       If En < Cof5[Local] Then (*Comparacao com 1.03 vezes o potencial medio de ionizacao*)
146         Local:=Absorvido;
147         Ec:=Ec+En+E_1;
148         En:=0.0;
149       End;
150       If Saída.Simnao.Shape Then (*Armazenamento do valor da energia dissipada*)
151       Begin

```

```
153 Indice:=Round((-X_D*Senoa+Z_D*Cossenoa)*Normal[Saida,A1]):=Saída.Perfil.Z[Indice]:=Saída.Perfil.Z[Indice]+Fc;
154 If (Indice <= 1000) And (Indice > -1) Then Saída.Perfil.Z[Indice]:=Saída.Perfil.Z[Indice]+Fc;
155 End;
156 X_A:=X_D; Y_A:=Y_D; Z_A:=Z_D; (*A nova posicao passa a ser a anterior*)
157 Until Local < Mat_1; (*Termina a simulacao da trajetoria individual*)
158 2:If Local=Retros Then
159 Begin
160 (*Calculo do coeficiente de retroespalhamento, por numero de eletrons e por energias*)
161 Saída.Retro_Coef[Saida,A1,Saida,A2]:=Saída.Retro_Coef[Saida,A1,Saida,A2]+1.0;
162 Saída.Retro_Coef_Ent[Saida,A1,Saida,A2]:=Saída.Retro_Coef_Ent[Saida,A1,Saida,A2]+En;
163 End;
164 (*Calculo do alcance medio e desvio Padrao*)
165 Alcance.Medio:=Alcance.Medio+Amax; Alcance.Max:=Alcance.Max+Sqr(Amax);
166 Alcance.Medio:=Alcance.Medio+Alcance.Max;
167 End;
168 End;
```

```
51      End;
52      Else
53          Begin
54              (*Corrente da camada pos-juncao. Obs.: Primeira camada crescida*)
55                  Corr_C[J]:=Corr_C[J]+FuncaoIJ*Exp(-X/J)/C;
56          End;
57      End;
58      For J:=1 To 10 Do
59          Begin
60              (*Escreve os resultados*)
61                  Writeln(Corr_Ai[J],Corr_Ao[J],Corr_BtJ,Corr_C[J]);
62          End;
63      End;
64      End;
65  End;
66  Close(Result): Close(Dados);
67 End.
```

```
1 Program Ebic(Dados,Result);
2   Var Dados,Result,Experimental;
3     Superf,Eg
4       Funcao
5         Corr_A1,Corr_AO,Corr_B,Corr_C,Energia_E,Angulo_E,
6           Corrente,A1,AO,B,C
7             Ruda
8               iex,K,Registro,i,J,Aa,Bb,Cc,Melhor_A1,Melhor_B1,
9                 Melhor_CI,Melhor_AO,Melhor_BO,Melhor_CO
10                Pos,X,Diferenca,Diferenca_O,
11                  Minimo,Minimo_O,SomaO,
12                    Norma,Energia,Angulo
13                      Define_1,Define_2,Arquivo_1,Arquivo_2,Arquivo_3
14                        :Real;
15                          Open(Dados,'Ebic_int.dat','Old'); Reset(Array[1..40] Of Char;
16                            Readln(Dados,Arquivo_1); Readln(Dados,Arquivo_2); Readln(Dados,Arquivo_3);
17                            Readln(Dados,Eg[1],Eg[2],Eg[3],Eg[4],Eg[5]);
18                            Readln(Dados,Eg[5],Eg[7],Eg[8],Eg[9],Eg[10]);
19                            Close(Dados);
20                            Open(Dados,Arquivo_1,'Old'); Reset(Dados);
21                            Open(Result,Arquivo_2,'New'); Rewrite(Result);
22                            Readln(Dados,Registro); Readln(Dados,Define_1); Readln(Dados,Define_2);
23                            Writeln(Result,Registro); Writeln(Result,Define_1); Writeln(Result,Define_2);
24                            Readln(Dados,Superf[1],Superf[2],Superf[3],Superf[4],Superf[5]);
25                            Readln(Dados,Superf[6],Superf[7],Superf[8],Superf[9],Superf[10]);
26                            Writeln(Result,Superf[1],Superf[2],Superf[3],Superf[4],Superf[5]);
27                            Writeln(Result,Superf[6],Superf[7],Superf[8],Superf[9],Superf[10]);
28                            Open(Experimental,Arquivo_3,'Old'); Reset(Experimental);
29                            Lex:=0;
30                            While Not Eof(Experimental) Do
31                              Begin
32                                Lex:=Lex+1;
33                                Readln(Experimental,Energia_E[lex],Angulo_E[lex],Corrente[lex]);
34                                End;
35                                Close(Experimental);
36                                For J:=1 To 40 Do
37                                  Begin
38                                    C[J]:=Exp(-Superf[2]/(J*0.1));
39                                    A[J]:=1/C[J]-C[J];
40                                    AO[J]:=1/C[J]+C[J];
41                                    BI[J]:=1/C[J]+Exp(-3*Superf[2]/(J*0.1));
42                                  End;
43                                While Not Eof(Dados) Do
44                                  Begin
45                                    Readln(Dados,Energia,Angulo,Norma);
46                                    Norma:=1.0*Norma;
47                                    For I:=0 To 1000 Do Readln(Dados,Funcao[I]); Readln(Dados);
48                                    For I:=0 To 1000 Do
49                                      Begin
50                                        X:=Normax[I];
```

```

51   If X < Superf[1] Then
52     Begin
53       For J:=1 To 40 Do Corr_A[J]:=Corr_A[1]*Funcao[1]*Exp(X/(0.1*xJ))-Exp(-X/(0.1*xJ))/((A1[J])*Eg[1]);
54       For J:=1 To 40 Do Corr_Ao[J]:=Corr_Ao[1]*Funcao[1]*Exp(X/(0.1*xJ))+Exp(-X/(0.1*xJ))/((Ao1[J])*Eg[1]);
55     End;
56   Else
57     Begin
58       If X < Superf[2] Then
59         Begin
60           For J:=1 To 40 Do Corr_B[J]:=Corr_B[1]*Funcao[1]*Exp(X/(0.1*xJ))+Exp(-(2*Superf[21]+X)/(0.1*xJ));
61           /((B1[J])*Eg[2]);
62         End;
63       Else
64         Begin
65           If X < Superf[3] Then For J:=1 To 40 Do Corr_C[J]:=Corr_C[1]*Funcao[1]*Exp(-X/(0.1*xJ))/((C1[J])*Eg[3]);
66         End;
67       End;
68     End;
69   K:=0;
70   Repeat
71   K:=K+1;
72   If (Energia=Energia_E[K]) And (Angulo=Angulo_E[K]) Then
73     Begin
74       Minimo1:=9999;
75       Minimo0:=9999;
76       For Aa:=1 To 40 Do
77         Begin
78           For Bb:=1 To 40 Do
79             Begin
80               For Cc:=1 To 40 Do
81                 Begin
82                   Soma1:=Corr_A[1]+Corr_B[Bb]+Corr_C[Cc];
83                   Soma0:=Corr_Ao[1]+Corr_Bo[Bb]+Corr_Co[Cc];
84                   Diferenca1:=Abs(Soma1-Corrente[K]);
85                   Diferenca0:=Abs(Soma0-Corrente[K]);
86                   If Diferenca1 < Minimo1 Then
87                     Begin
88                       Melhor_A1:=Aa;
89                       Melhor_B1:=Bb;
90                       Melhor_C1:=Cc;
91                       Minimo1:=Diferenca1;
92                     End;
93                   If Diferenca0 < Minimo0 Then
94                     Begin
95                       Melhor_A0:=Aa;
96                       Melhor_B0:=Bb;
97                       Melhor_C0:=Cc;
98                       Minimo0:=Diferenca0;
99                     End;
100                End;

```

```

102
103  End;
104  writeln(Result); writeln(Result);
105  writeln(Result,'Energia=','Energia:5:1','Angulo=','Angulo:6:1');
106  writeln(Result,'Corr_Ai[Melhor_Ai],Corr_B[Melhor_Bi],Corr_C[Melhor_Ci]');
107  writeln(Result,'Corr_AO[Melhor_AO],Corr_BO[Melhor_BO],Corr_CO[Melhor_CO]');
108  writeln(Result,'L(ai)=','(Melhor_Ai/10):5:2','L(bi)=','(Melhor_Bi/10):5:2');
109  writeln(Result,'L(aO)=','(Melhor_AO/10):5:2','L(bO)=','(Melhor_BO/10):5:2');
110  writeln(Result,'soma(i)=','(Corr_Ai[Melhor_Ai]+Corr_Bi[Melhor_Bi]+Corr_Ci[Melhor_Ci]):10:3');
111  writeln(Result,'soma(O)=','(Corr_AO[Melhor_AO]+Corr_BO[Melhor_BO]+Corr_CO[Melhor_CO]):10:3');
112  writeln(Result,'Corrente experimental=','Corrente[K]:10:3');
113  writeln(Result,'diferenca(i)=','Minimo[i]:10:3','diferenca(O)=','MinimoO:10:3');
114  Until K>=lex;
115  For J:=1 To 40 Do Corr_Ai[J]:=0.0;Corr_AO[J]:=0.0;Corr_BO[J]:=0.0;Corr_CO[J]:=0.0;
116  End;
117  Close(Result); Close(Dados);
118  End.
```

```

1 Program Desenho_Deds(Dados,Input,Output);
2   Var P :Array[0..1000] Of Real;
3     Perf1 :Array[1..10,0..199] Of Real;
4     Dados :Text;
5     Registro,Kout,I,J,L,K
6     Esp_Jun,Prof_Jun,Camada,Substrato,D,
7     Max, Nor, Inc
8     Norma,Energia,Angulo
9     Definicao_1,Definicao_2,Arquivo
10    Procedure Axis(Xpage,Ypage:Real;%5tdescr Text:Packed Array[Long,Angle:Real];Minim,Incre:Real);Fortran;
n: 11    Procedure Plots(Xlong,Ywide:Real; Outdev:Integer); Fortran;
12    Procedure Plot(Xpage,Ypage:Real; Pen:Integer); Fortran;
13    Procedure Symbol(Xpage,Ypage,Heighth:Real;
14      %5tdescr Text:Packed Array[Integer] Of Char;
15      Angle: Real; Nchar: Integer); Fortran;
16    Procedure Number(Xpage,Ypage,Heighth,Digit,Angle:Real;
17      Ndel: Integer); Fortran;
18    Procedure Factor(Fact:Real); Fortran;
19    Procedure Dashp(Xpage,Ypage,Dash:Real);Fortran;
20    Begin
21      Kout:=100;
22      Write('NOME DO ARQUIVO:'); Readln(Arquivo);
23      Open(Dados, DBAI:[WEBER.ESTOQUE]+Arquivo+'.DAT', Old);
24      Readln(Dados,Registro); Readln(Dados,Definicao_1); Readln(Dados,Definicao_2);
25      If Registro > 1000 Then
26        Begin
27          Readln(Dados);Readln(Dados);
28        End
29      Else
30        Begin
31          Readln(Dados,Prof_Jun,Esp_Jun,Camada,Substrato);
32        End;
33      Max:=0.0; I:=0;
34      While Not Eof(Dados) Do
35        Begin
36          I:=I+1;
37          Readln(Dados,Energia[I],Angulo[I],Normal[I]);
38          Normal[I]:=1000/Normal[I];
39        For J:=0 To 1000 Do
40          Begin
41            Readln(Dados,P[J]); If (J Div 5)=J Then Readln(Dados);
42            if P[J]<0.0 Then P[J]:=0.0;
43          End;
44        For J:=0 To 199 Do
45          Begin
46            For K:=0 To 4 Do Perf1[I,J]:=Perf1[I,J]+P[J]*5^K;
47            If Perf1[I,J]>Max Then Max:=Perf1[I,J];
48          End;
49        End;
50      End;

```

```

51 Close(Dados);
52 Nor:=0.0; For J:=1 To I Do If Normal[J] > Nor Then Nor:=Normal[J];
53 (*Formulariox*)
54 Plots(10.0,13.0,Kout);
55 Factor(0.393701);
56 Plot(1.0,1.0,-3); Plot(24.0,0.0,2); Plot(24.0,31.0,2);
57 Plot(0.0,31.0,2); Plot(0.0,0.0,3); Plot(2.0,0.0,3);
58 Plot(2.0,31.0,2); Plot(2.0,15.5,3); Plot(0.0,15.5,2);
59 (*Grafico*)
60 (*Mudanca De Origem*) Plot(18.0,2.0,-3);
61 Symbol(-9.0,-1.0,0.3,'DE/DS (KEV/MICRON)',180.0,0,1);
62 Max:=15.0/Max; Nor:=25.0/Nor;
63 Symbol(1.0,20.0,0.3,'PROFOUNDADE (MICRON)',90.0,1),
64 For L:=1 To I Do
65 Begin
66 Inc:=Normal[L]*Nor/200.0;
67 Plot(0.0,0.0,3);
68 For J:=0 To 199 Do
69 Begin
70 Plot(-Perfil[L,J]*Max,J*Inc,2);
71 Plot(-Perfil[L,J]*Max,(J+1)*Inc,2);
72 End;
73 (*Exios*)
74 Factor(2.5);
75 Factor(2.5);
76 Axis(0.0,0.0,'-2.10.0.90.0.0.2.5/Nor');
77 Axis(0.0,0.0,'2.6.0.180.0.0.0.2.5/Max');
78 Factor(0.4);
79 (*Estrutura De Camadas*)
80 If Prof_Jun > 0.0 Then Begin Plot(0.0,Prof_Jun*Nor,2); Plot(-15.0,Prof_Jun*Nor,2); End;
81 If Esp_Jun > 0.0 Then Begin Plot(0.0,(Esp_Jun+Prof_Jun)*Nor,3); Plot(-15.0,(Esp_Jun+Prof_Jun)*Nor,2); End;
82 If Camada > 0.0 Then Begin Plot(0.0,Camada*Nor,3); Plot(-15.0,Camada*Nor,2); End;
83 If Substrato > 0.0 Then Begin Plot(0.0,Substrato*Nor,3); Plot(-15.0,Substrato*Nor,2); End;
84 (*Textos*)
85 (*Mudanca De Origem*) Plot(6.0,-2.0,-3);
86 Symbol(-4.0,0.5,0.4,'ENERGIA DISSIPADA',90.0,1);
87 Symbol(-3.0,0.5,0.3,Definicao_1,90.0,1);
88 Symbol(-2.5,0.5,0.3,Definicao_2,90.0,1);
89 Symbol(-1.0,0.5,0.3,'REGISTRO NR.',90.0,1);
90 Number(-1.0,0.4,0.3,Registro,90.0,-1);
91 Symbol(-4.0,17.0,0.4,'MICROSCOPIA ELETTRONICA',90.0,1);
92 Symbol(-3.0,16.0,0.3,'SIMULACAO MONTE CARLO',90.0,1);
93 Symbol(-1.5,15.0,1.5,'LPD',90.0,1);
94 Symbol(-2.0,19.0,0.5,'LABORATORIO DE PESQUISA',90.0,1);
95 Symbol(-1.0,19.0,0.5,'DISPOSITIVOS',90.0,1);
96 Plot(0.0,0.0,399);
97 End.

```

```

1 (*$u+$*)
2 Program Ebick_Juncao(Input,Output);
3 Label 1; P1,P2,Energia,Angulo
4 Var   Dados,Result;
5      Registro,I,J,K,h,l,m,n,iJuncao,lleit
6      Juncao,Normal,F1,F2,F3,max
7      Definicao_1,Definicao_2,Arquivo
8      S_n
9      Begin
10     clrscr;
11     S_N:='n';
12     Write('Nome do Arquivo:'); Readln(Arquivo);
13     Assign(Dados,Arquivo+'.dat');
14     Reset(Dados);
15     If S_N='s' Then
16       Begin
17         CirScr;
18         Writeln('Arquivo Pesquisado : ',Arquivo,'.dat');
19       End;
20     Readln(Dados,Registro); Readln(Dados,Definicao_1); Readln(Dados,Definicao_2);
21     Readln(Dados);
22     Write('Profundidade da Juncao:'); Readln(Juncao); l:=0;
23     WriteLn(Definicao_1); writeLn(Definicao_2); writeln('Registro Nr.:',registro:5);
24     While(Definicao_1); writeLn(Definicao_2); writeln('Juncao: ');
25     gotoxy(1,10); write('Energia: ');
26     gotoxy(1,12); write('Juncao: ');
27     gotoxy(3C,B); write('Energia Angulo l(s=0) l(s=Infinito)');
28     While not Eof(Dados) do
29     Begin
30       l:=l+1; Readln(Dados,Energia[l],Angulo[l],Normal);
31       Gotoxy(10,10); write(energia[l]:6:1);
32       Normal:=1000.0/Normal;
33       lJuncao:=Round(167*Juncao/normal); lleit:=lJuncao div 2;
34       gotoxy(10,12); write(lJuncao:6); p2t1j:=0.0;
35       If lJuncao > 167 Then
36         Begin
37           for j:=1 to 84 do readln(dados);
38           P1[j]:=0.0; P2[j]:=0.0;
39         end
40       Else
41         Begin
42           For j:=1 to (lleit-1) do Readln(Dados);
43           If Odd(lJuncao) Then
44             Begin
45               Readln(Dados);
46               Read(Dados,F1,F2,F3); Readln(Dados);
47             End
48           Else
49             Begin
50               Read(Dados,F1,F2,F3); Readln(Dados,f1,F2,F3); Readln(Dados);

```

```

51
52   For J:=(11)to 83do Readln(Dados);
53   P1[J]:=F1+F2; P2[J]:=F2+F3;
54   End;
55   Gotoxy(30,8+I): write(energia[J]:5:1,' ',angulo[J]:5:1);
56   If (p1[J]=0.0) And (p2[J]=0.0) Then
57   Begin
58     Write(' * Dados Nao Disponiveis * ');
59   End
60   Else
61   Begin
62     Write(' ',p1[J]:10:2,' ',p2[J]:10:2);
63   End;
64   If Eoln(Dados) Then Readln(Dados);
65   for k:=1 to 4 do
66   begin
67     gotoxy(1,9+k); write(' ');
68   end; max:=0.0;
69   for j:=1 to I do
70   begin
71     if P1[J] > max Then max:=P1[J];
72     if P2[J] > max Then max:=P2[J];
73   end;
74   for j:=1 to I do
75   begin
76     begin
77       h:=round((14*p1[J]/max);
78       l:=round((14*p2[J]/max);
79       for m:=1 to h do
80       begin
81         gotoxy(j,20-m); if m=h then write('O') else write('.');
82       end;
83       for n:=1 to l do
84       begin
85         gotoxy(12+j,20-n); if n=l then write('I') else write('.');
86       end;
87     end;
88   Gotoxy(1,22): Write('Deseja continuar ? (s ou n):'); Readln(S_N);
89   If S_N='s' Then Goto 1;
90   Close(dados);
91   End;

```

```

1  {SU+}
2  Program Ebic_Juncao(Input,Output);
3  Label 1; P1,P2,Energia,Angulo,Experimental;
4  Var
5    Energia_2,angulo_2 :Real;
6    Dados,Result,dados_2 :Text;
7    Registro,I,J,K,H,L,M,N,IJuncao,Illet,
8    dados_simpl,dados_ex :Integer;
9    Juncao_forma,F1,F2,F3,Max,Rte :Real;
10   Definicao_1,Definicao_2,Arquivo,
11   Arquivo_2 :String[40];
12   S_N :Char;
13
14  Begin
15  Clrscr;
15  S_N:='n';
16  Write('Nome do Arquivo:'); Readln(Arquivo);
17  Assign(Dados,Arquivo+'.'+dat.+);
18  1:Reset(Dados);
19  If S_N='s' Then
20  Begin
21  Clrscr;
22  Writeln('Arquivo Pesquisado : ',Arquivo,'.'+dat.+);
23  End;
24  Readln(Dados,Registro); Readln(Dados,Definicao_1); Readln(Dados,Definicao_2);
25  Readln(Dados);
26  Write('Profundidade da Juncao:'); Readln(Juncao); I:=0;
27  Writeln(Definicao_1); Writeln(Definicao_2); Writeln('Registro Nr.:',Registro:5);
28  Write('R I E:'); Read(RIE);
29  Gotoxy(1,10); Write('Energia:');
30  Gotoxy(1,12); Write('IJuncao:');
31  Gotoxy(30,8); Write('Energia Angulo I(e=0) I(s=Infinito)');
32  While Not Eof(Dados) Do
33  Begin
34  I:=I+1; Readln(Dados,Energia[I],Angulo[I],Norma);
35  Gotoxy(10,10); Write(Energia[I]:6:1);
36  Norma:=1000.0/Norma;
37  IJuncao:=Round(167*IJuncao/Norma); Illet:=IJuncao Div 2;
38  Gotoxy(10,12); Write(IJuncao:6); P1[I]:=0.0; P2[I]:=0.0;
39  If IJuncao > 167 Then
40  Begin
41  For J:=1 To 84 Do Readln(Dados);
42  P1[I]:=0.0; P2[I]:=0.0;
43  End;
44  Else
45  Begin
46  For J:=1 To (Illet-1) Do Readln(Dados);
47  If Odd(IJuncao) Then
48  Begin
49  Readln(Dados);
50  Read(Dados,F1,F2,F3); Readln(Dados);

```

```

51   End
52   Else
53     Begin
54       Read(Dados,F1,F2,F3); Readln(Dados,F1,F2,F3); Readln(Dados);
55     End;
56     For J:=(Ilelt+1) To 83 Do Readln(Dados);
57     P1[IJ:=(F1+F2)/Rle; P2[IJ:=(F2+F3)/Rle;
58   End;
59   Gotoxy(30,8+1); Write('Energia[IJ]:5:1,'),Angulo[IJ:5,1];
60   If (P1[IJ]=0.0) And (P2[IJ]=0.0) Then
61     Begin
62       Write(' * Dados Nao Disponiveis *');
63     End
64   Else
65     Begin
66       Write(' ',P1[IJ]:10:2,' ',P2[IJ]:10:2);
67     End;
68   If Eoln(Dados) Then Readln(Dados);
69   End;
70   dados_simul:=I;
71   For K:=1 To 4 Do
72     Begin
73       Gotoxy(1,9+K); Write(' ');
74     End; Max:=0.0;
75   For J:=1 To I Do
76     Begin
77       If P1[J] > Max Then Max:=P1[J];
78       If P2[J] > Max Then Max:=P2[J];
79     End;
80   For J:=1 To I Do
81     Begin
82       H:=Round(14*P1[J]/Max);
83       L:=Round(14*P2[J]/Max);
84     For M:=1 To H Do
85       Begin
86         Gotoxy(J,20-M); If M=H Then Write('O') Else Write('.');
87     End;
88   For N:=1 To L Do
89     Begin
90       Gotoxy(12+J,20-N); If N=L Then Write('L') Else Write('.');
91     End;
92   Gotoxy(1,22); Write('Carrega Arquivo com dados experimentais? (s ou n): ');
93   read(S_N);
94   If (S_N='S') or (S_N='s') then
95     Begin
96       Gotoxy(1,22); Clncl; write('Nome do arquivo com os dados experimentais: ');
97       read(arquivo_2); assign(dados_2,arquivo_2+'.dat'); reset(dados_2); i:=1;
98       while not eof(dados_2) do
99       begin
100      readin(dados_2,energia_2[I],angulo_2[I],experimental[I]);

```

```
102   I:=I+1;
103   end;
104   close(dados_2);
105   gotoxy(45,8); clreol; write(' I (experimental) ');
106   dados_ex:=1;
107   for j:=1 to i do
108   begin
109     gotoxy(30,8+j); clreol; write(energia_2[j]:5:1,'angulo_2[j]:5:1,
110                                         experimental[j]:10:2);
111   end;
112   for j:=(I+8) to 21 do
113   begin
114     gotoxy(30,j); clreol;
115   end;
116   For J:=1 To I Do
117   Begin
118     H:=Round((14*experimental[J]/Max);
119     For M:=1 To H Do
120     Begin
121       Gotoxy(J,20-M); write('E');
122     End;
123     For N:=1 To h Do
124     Begin
125       Gotoxy((J+20-N),20-N); write('E');
126     End;
127   End;
128   end;
129   gotoxy(1,22); clreol; write('Deseja continuar ? (s ou n):'); Readln(S_N);
130   If S_N='s' Then Goto 1;
131   Close(Dados);
132   End.
```

## Bibliografia

### Introdução

- [1] NBS Special Publication 460 "Use of Monte Carlo calculations in Electron Probe Microanalysis and Scanning Electron Microscopy"  
Edited by K.F.J.Heinrich et al.

### 1 - O Método Monte Carlo

- [1] K.F.J.Heinrich "Electron Beam X-Ray Microanalysys", Ed.Van Nostrand p.227 (1981)
- [2] D.Liljequist "A simple analysis of then transmission and backscattering of 10-30keV electrons in solid layers"  
J.Phys.D:Appl.Phys. 10, 1363(1977)

### 2 - Resultados dE/dz

- [1] S.Adachi "Material parameters of In(1-x) Ga(x) As(y) P(1-y) and related binaries" J.Appl.Phys 53(12), 8775(1982)

### 3 - Corrente Induzida por feixe eletrônico (EBIC)

- [1] J.I.Hanoka, R.O.Bell "Electron-beam-induced currents in semiconductors" Ann.Rev.Mater.Sci. 11, 353(1981)

- [2] T.E.Everhart PhD Thesis Cambridge Univ. 1958
- [3] H.Pfister "Elektronenbestrahlung von p-n-Sperrsichten in GaAs" Z.Naturforschung 12a, 217(1957)
- [4] J.J.Lander, H.Schreiber Jr., T.M.Buck, J.R.Matheus Appl.Phys.Lett. 3, 206(1963)
- [5] W. van Roosbroeck "Injected Current Carrier Transport in a Semi-Infinite Semiconductor and the Determination of Lifetimes and Surface Recombination Velocities" J.Appl.Phys. 26(4), 380(1955)
- [6] E.Butkov "Física Matemática" Ed.Guanabara Dois (1983)
- [7] C.Donolato "A reciprocity theorem for charge collection" Appl.Phys.Lett. 46(3), 270(1985)
- [8] R.V.Churchill "Variáveis Complexas e suas Aplicações" Ed.McGraw-Hill (1976)
- [9] W.H.Hackett Jr. "Electron-beam Minority-Carries Diffusion Profiles in Semiconductors" J.Appl.Phys. 43(4), 1649(1972)

#### 4 - Resultados da simulação de EBIC .

- [1] S.Adachi "GaAs, AlAs and Al(x)Ga(1-x)As: Material parameters for use in research and device applications" J.Appl.Phys. 58(3), R1(1985)
- [2] S.Adachi "Material parameters of In(1-x)Ga(x)As(y)P(1-y) and related binaries" J.Appl.Phys. 53(12), 8775(1982)
- [2] C.A.Ribeiro, comunicação particular a partir de levantamentos bibliográficos

**A - Equação de Perda de Energia**

- [1] H.Bethe "Zur Theorie des Durchgangs schneller Korpuskularstrahlen durch Materie" Ann.d.Physik 5,325(1930)
- [2] A.J.Antolak, W.Williamson Jr. "Electron backscattering from bulk materials" J.Appl.Phys. 58(1),526(1985)
- [3] J.D.Jackson "Eletrodinâmica Clássica" segunda edição, Editora Guanabara Dols pág.478 (1983)

**B - Livre Caminho Médio**

- [1] L.Landau, E.Lifchitz "Mécanique Quantique" Editora Mir (1966)
- [2] L.Reimer "Monte-Carlo-Rechnungen zur Elektronendiffusion" Optik 27(2),86(1986)

**C - Ângulo de Espalhamento**

- [1] L.Landau, E.Lifchitz "Mecânica" Editora Mir (1978)

**D - Coordenadas do Elétron em Três Dimensões**

- [1] R.L.Myklebust, D.E.Newbury, H.Yakowitz "NBS Monte Carlo electron trajectory calculation program" NBS Special Publication 460 p.105 (1975)

**E - Energias de Ionização Radiativa**

- [1] C.A.Klein J.Appl.Phys. 39(4),2029(1068)

- [2] O.Bogdankévitch, S.Darznek, P.Elisséev "Les Lasers à  
Semiconducteurs" Ed.Mir (1979)